

STAVEBNÍ MECHANIKA 3

2+2, Z, ZK

Náplň předmětu:

1. Výpočet a průběhy vnitřních sil na prostorových konstrukcích (balconový nosník, lomená konzola)
2. Výpočet přetvorení na rámových kocích, příhradových kocích, ležících a zatížených v rovině xz
principem virtuálních prací (sil. namáhání, vzd. vlivy)
3. Výpočet a průběhy M, Q, N na jednoduchých staticky neurčitých rámech (rovinných).
Metody výpočtu: silová metoda (SM)
deformační metoda (DM)
4. Rosy - průběhy vnitřních sil.

Budeme používat:

Pro globální i lokální osy → pravouhlé pravotočivé systémy souřadnic x, y, z

Značení "vnitřních sil":
 $N_x = N$... normálová síla
 $Q_y \dots$ } posouvající síly
 $Q_z = Q$...
 $M_x = T$... krouticí moment
 $M_y = M$... } ohýbové momenty
 $M_z \dots$...

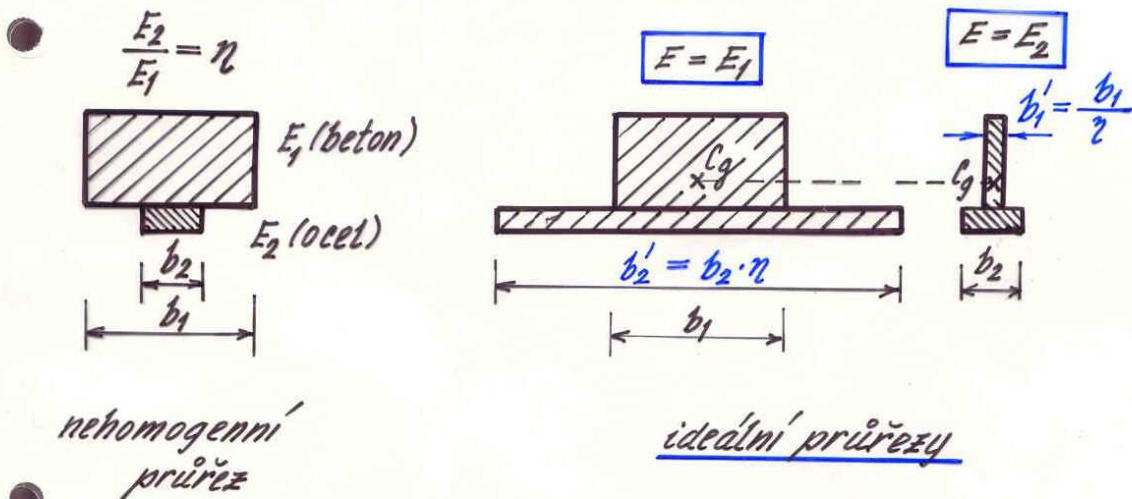
Konzultace: Po 14.00 - 15.30, B323

VÝPOČET PŘETVORENÍ

1. Pojem přetvorění

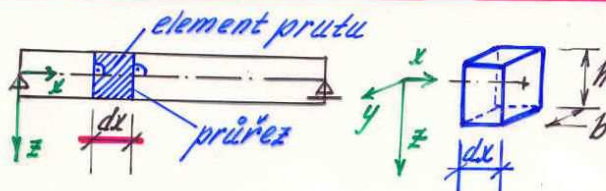
Prut jako součást konstrukce mění pod zatížením svůj tvar. Změnu tvaru sledujeme na střednici prutu, která spojuje težistě ideálních průřezů.

Zavedením ideálních průřezů se nehomogenní pruty převádějí na pruty homogenní.



Zaměříme se na výpočet přetvorění přímých prutů s rovinou střednice.

2. Přetvorění (diferenciálního) elementu prutu.



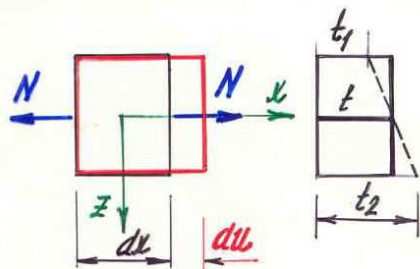
Element prutu -
vytínáme dvěma řezy
vedenými L ke střed-
nici prutu

Přetvorění způsobuje: vnitřní síly: $N_x \equiv N$, $M_y \equiv M$, $Q_z \equiv Q$,
počáteční deformace, např. oteplení

Pozn.: Průběh teploty po průřezu = lineární fce
(Δ je předp. PRPE o zachování rovinnosti průřezu)

a) Normálová síla N a rovnoměrné oteplení t

- způsobí protažení prvků délky dx o



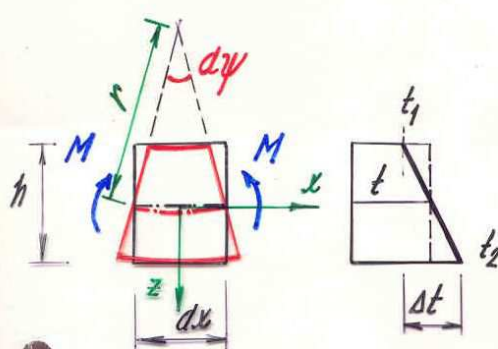
$$\underline{du} = \frac{Ndx}{EA} + \alpha \Delta t dx$$

$$t = \frac{1}{2}(t_1 + t_2)$$

(1)

b) Ohybový moment $M=M_y$ a nerovnoměrné oteplení

- způsobí změnu křivosti prutu, danou relativním (vzájemným) pootečením koncových průřezů diferenciálního elementu o úhel



$$\underline{d\psi} = \frac{M}{EI} dx + \frac{\alpha \Delta t}{h} dx$$

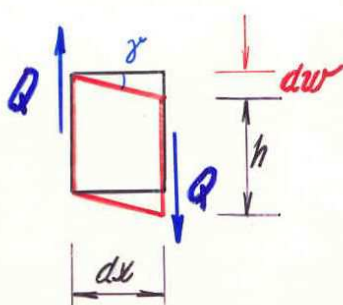
$$\Delta t = t_2 - t_1 = t_d - t_h$$

$$\frac{d\psi}{dx} = \frac{1}{r} = \varphi \quad t_2 = t_d \dots \text{oteplení dolních vláken}$$

$$t_1 = t_h \dots \text{oteplení horních vl.}$$

c) Posouvající síla $Q=Q_z$

- vysvětluje relativní (vzájemné) přičné posunutí koncových průřezů elementu



$$\underline{dw} = \frac{\beta Q}{GA} dx$$

$\beta \dots$ tvarový součinitel [x]
(pro obdélník: $\beta = x = 1/2$)

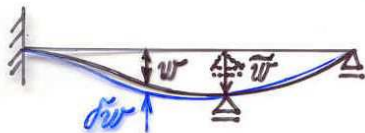
$$dw = x \cdot dx = \beta \frac{t_s}{h} dx$$

Vliv smyku na přetvorění nosníku lze zanedbat, je-li $h \leq \frac{l}{10}$, kde $l \dots$ délka prutu

3. Základní pojmy z principu virtuálních prací (PVP)

Virtuální posun (variace skutečného posunu)

tiborolný, dostatečně malý posun,
který nenařuší razby v tělese



\tilde{w} ... vynucený (předepsaný) posun
 w ... skutečný posun podpory
 δw ... virtuální posun

✓ PRPE: posuny $u, v, w \Rightarrow$ analogicky $\delta u, \delta v, \delta w$

● Virtuální deformace : z geom.r. TP: $E_x = \frac{\partial u}{\partial x}$.. skutečná deformace

$$\delta E_x = \frac{\partial}{\partial x} (\delta u)$$

analogicky: $\delta E_y, \delta E_z, \dots, \delta E_{xy}$

Virtuální napětí (variace skutečného napětí)

nenařuší rovnováhu v tělese

$$\delta \sigma_x, \delta \sigma_y, \dots, \delta \sigma_{xy}$$

● Virtuální síla - nenařuší rovnováhu v tělese



$\delta F, \delta A_x, \delta A_z, \delta B$... virt. síly, vnitřní
 $\Rightarrow \delta N_x, \delta Q_x, \delta M_y$... virt. síly, vnitřní

$$\text{z PRPE} \Rightarrow \delta N_x = \iint \delta \sigma_x \, dA$$

$$\delta Q_x = \iint \delta \sigma_{xz} \, dA$$

$$\delta M_y = \iint \delta \sigma_x \cdot z \, dA$$

4. Výpočet přetvoření pomocí PVP (varianta PVsil)

! Je-li těleso v rovnováze, potom virtuální práce menších sil se rovná virtuální práci sil vnitřních ($\delta A_{ext} = \delta A_{int}$)

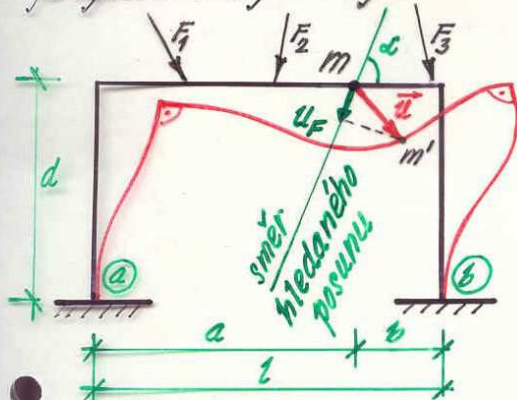
PVP - 2 varianty

PVs(sil) \Rightarrow skutečný stav přetvoření,
virtuální stav silový

PVp(posunutí) \Rightarrow skutečný stav silový,
virtuál. stav přetvoření
(např. výpočet reakcí)

Skutečný (realní) stav

- je využit danými menšími silami



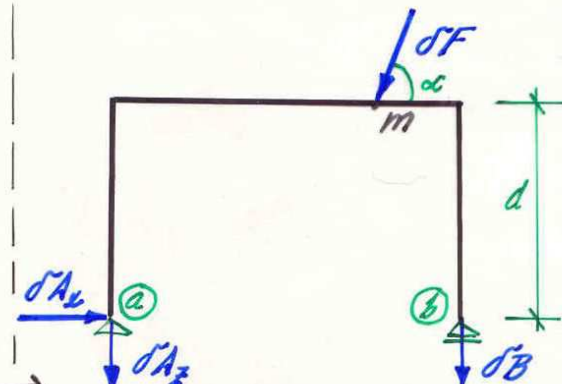
•

m ... sledovaný bod
 \bar{u} ... faktický posun

u_F ... posun hledaný (v daném směru)

Virtuální stav (silový)

- je vyvolán virtuálnimi silami;
- nesmí být narušena rovnováha ("sily" dle přetvoření, které na skut. kci počítáme)



z podm. rovnováhy:

$$\textcircled{a}: \delta B = \delta F / \left(\frac{d}{2} \cos \alpha - \frac{a}{2} \sin \alpha \right)$$

$$\downarrow: \delta A_z = \delta F / \left(-\frac{b}{2} \sin \alpha - \frac{a}{2} \cos \alpha \right)$$

$$\rightarrow: \delta A_x = \delta F \cdot \cos \alpha$$

Virtuál. práce menších sil:

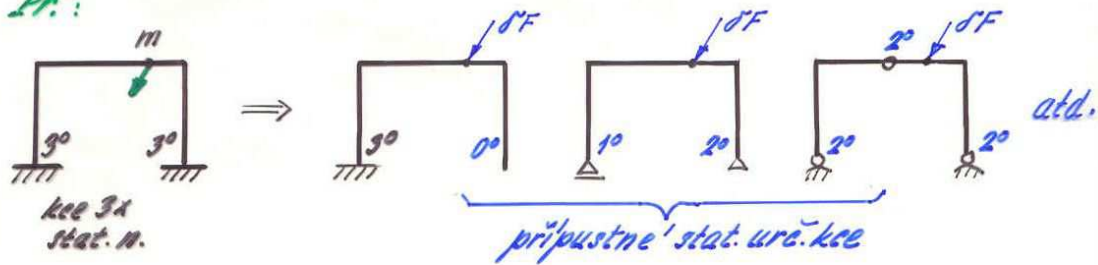
$$\delta A_{ext} = \delta F \cdot u_F + \delta A_x \cdot 0 + \delta A_z \cdot 0 + \delta B \cdot 0 = \underline{\delta F \cdot u_F}$$

pro naš^v případ

Výpočet přetvorení PVs na konstrukčních staticky neurčitých: virtuální stav realizujeme na přípustné staticky určité konstrukci!

(stejné rozměry, průřez. i materiálové charakteristiky, „měkké“ podepření = z vazby vyšší na vazbu nižší, ne opačné)

Prv:



Výpočet přetvorení na kořáb staticky určitých:
příslušný virtuál. stav realizujeme na téže kořáb.

4.1. Virtuální práce menších sítí (zobecnění)

$$\delta A_{ext.} = \sum \delta R_M \cdot \tilde{\varphi} + \sum \delta R_F \cdot \tilde{w}$$

sečtame přes výčetna místa hledaných
nebo předepsaných pootočení ($\varphi, \tilde{\varphi}$)

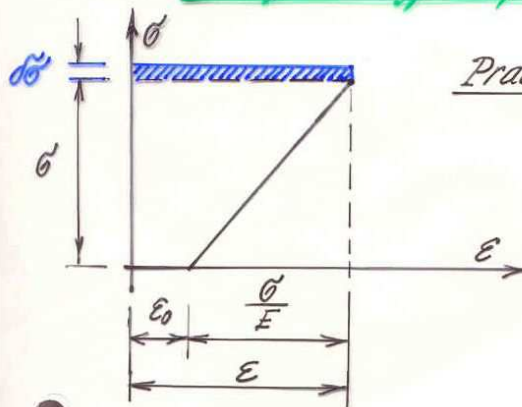
sečtame přes výčetna místa hledaných
nebo předepsaných posunů (w, \tilde{w})

$\tilde{w}, \tilde{\varphi} = \frac{dw}{dx}$... předepsaný posun (n. hledaný posun)
a pootočení tečny ke střednicí

$\delta R_F (= \delta F), \delta R_M$... odpovídající virtuální „silová“
veličina

4.2. Virtuální práce vnitřních sil $\delta A_{int.}$

Pozn. Uvažujeme nejprve pouze účinek $N(x)$ $\Rightarrow \sigma_x = \frac{N(x)}{A(x)}$



Pracovní diagram lineárně pružného materiálu s počáteční deformací

$$\begin{aligned}
 \delta A_{int.} &= \iiint_V \underbrace{\delta \sigma}_\text{blue} \cdot E \, dV = \\
 &= \iiint_V \delta \sigma_x (E_0 + \frac{\delta}{E}) \, dV = \\
 &= \iiint_V \frac{\delta N(x)}{A(x)} (E_0 + \frac{N(x)}{A(x)E}) \, dx \, da = \\
 &\quad \text{at } \frac{\delta}{E} \\
 &= \int_0^l \frac{\delta N(x)}{A(x)} (a(x) + \frac{N(x)}{A(x)E}) \, dx \cancel{\iiint_V \, da} = \\
 &= \int_0^l \delta N (a(x) \, dx + \frac{N(x) \, dx}{EA}) \\
 &\quad \underbrace{\qquad}_{du} \text{ (vzorec č. 1)}
 \end{aligned}$$

Vzniká-li v průřezech prutu kromě N též moment M a posouvající síla Q , výjde analogicky:

$$\begin{aligned}
 \delta A_{int.} &= \int_0^l (\delta N \cdot \underbrace{du}_{(1)} + \delta M \cdot \underbrace{d\psi}_{(2)} + \delta Q \cdot \underbrace{dw}_{(3)}) = \\
 &= \int_0^l [\delta N \left(\frac{N}{EA} + a(x) \right) + \delta M \left(\frac{M}{EI} + \frac{da(x)}{h} \right) + \delta Q \left(\frac{\beta Q}{GA} \right)] \, dx \\
 &\quad \text{virtuální vnitřní síla"} \quad \text{skutečné přetvoření"} \\
 &\quad (\text{při virtuální zatížení kce})
 \end{aligned}$$

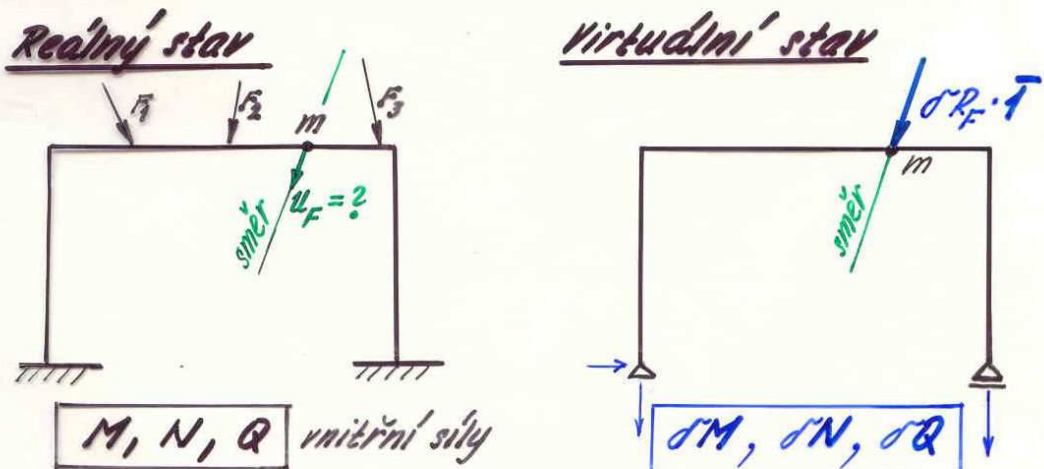
1.3. Výchozí rovnice PV sil:

$$\delta A_{int} = \delta A_{ext}$$

$$\begin{aligned} \int \left[\delta N \left(\frac{N}{EA} + \alpha ct \right) + \delta M \left(\frac{M}{EI} + \frac{\alpha ct}{h} \right) + \delta Q \frac{\beta Q}{GA} \right] dx = \\ = \sum \delta R_M \cdot \tilde{\varphi} + \sum \delta R_F \cdot \tilde{w} \end{aligned} \quad (I)$$

1.4. Přechod od virtuálního stavu (silového) k jednotkovému „silovému“ stavu.

a) Posun v daném směru



$$\begin{array}{c} \text{virtuální} \\ \text{vnitřní} \\ \text{sily} \end{array} \begin{array}{l} \xleftarrow{\delta M = \delta R_F \cdot \bar{M}} \\ \xleftarrow{\delta N = \delta R_F \cdot \bar{N}} \\ \xleftarrow{\delta Q = \delta R_F \cdot \bar{Q}} \end{array}$$

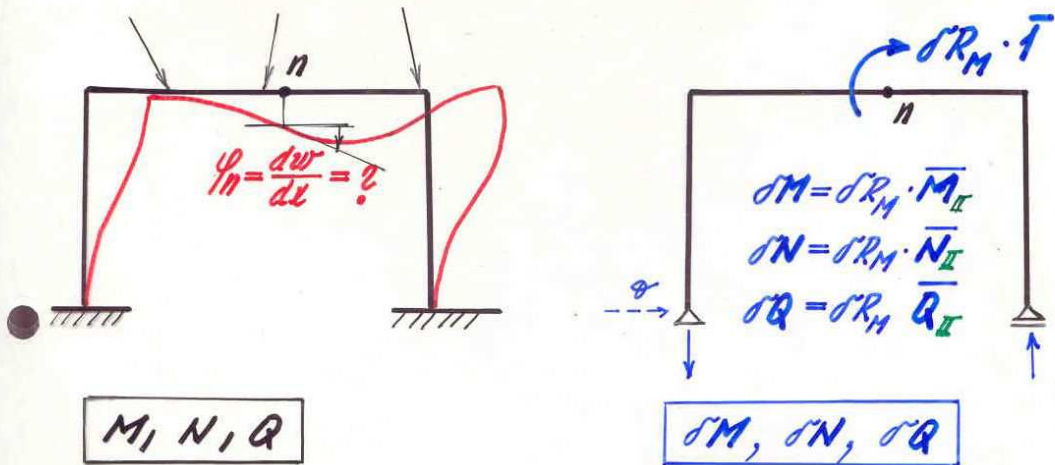
$\bar{M}, \bar{N}, \bar{Q} \dots$ vnitřní sily od jednotkové sily $\bar{F} [-]$

$$(I) : \cancel{\delta R_F} \int \left[\bar{N} \left(\frac{N}{EA} + \alpha ct \right) + \bar{M} \left(\frac{M}{EI} + \frac{\alpha ct}{h} \right) + \bar{Q} \frac{\beta Q}{GA} \right] dx = \cancel{\delta R_F} \cdot \bar{F} \cdot u_F$$

→ přetvorění na skutečné (realné) když nezáleží
na velikosti virtuální „silové“ veličiny!

b) Pootočení těčny ke střednici

Reálný stav (zůstává stejný, jen počítáme jiné přetvoření) \Rightarrow Virtuální stav (nový!)



$\bar{M}_I, \bar{N}_I, \bar{Q}_I$... vnitřní sily od jednotkového momentu působícího v n
 \Rightarrow musí být s jednotk. momentem v rovnováze

PVs (I):

~~$\delta R_M \int [N_I \cdot (\frac{N}{EA} + \alpha t) + M_I \cdot (\frac{M}{EI} + \frac{\alpha \Delta t}{h}) + \dots] dx = \delta R_M \cdot T \cdot q_n$~~

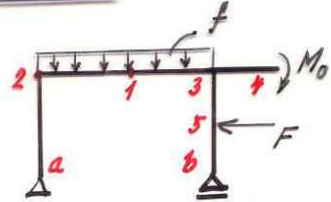
Hledané' pootočení q_n povazujeme za předepsané \tilde{q}_n

Poznámka: Při konkrétních výpočtech virtuální stavu silové' nahrazujeme stavy "jednotkovými", těch musíme vytvořit kolikkolik různých přetvoření na řadě, ke kterému chceme počítat.

U stat. neurč. kce - jednotkové stavy lze vytvářet na různých staticky přípustných krocích (redukční věta)

Postup při výpočtu přetvorění PVS:

a) Na reálné konstrukci vyřešíme skutečný zatěžovací stav $\Rightarrow M, N, Q$

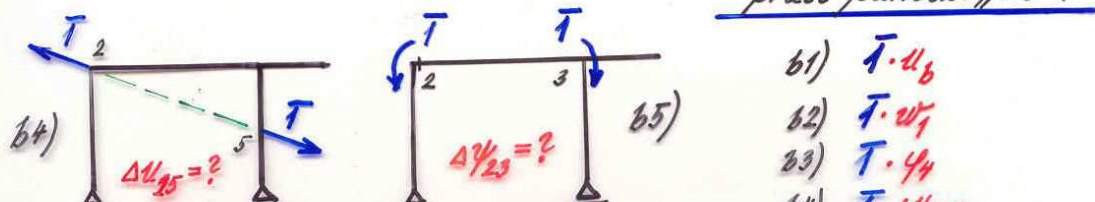
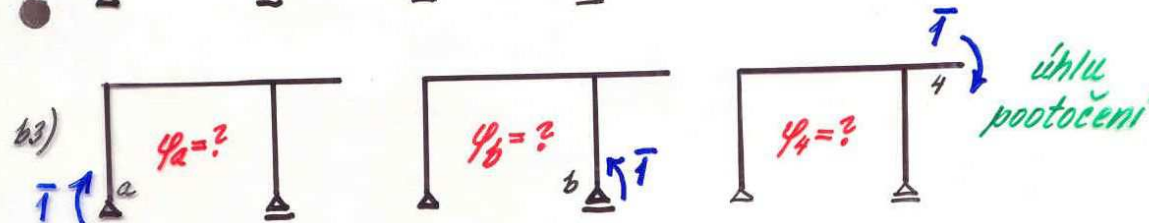
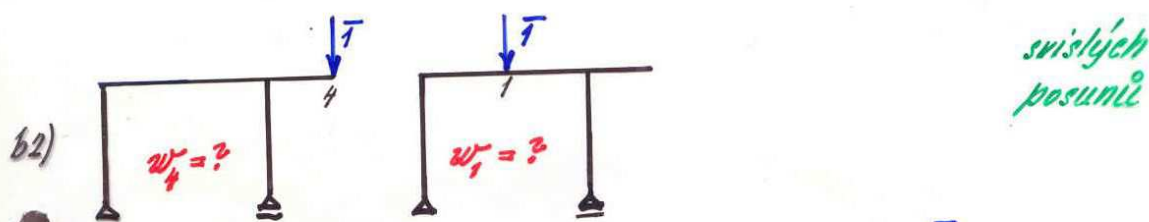
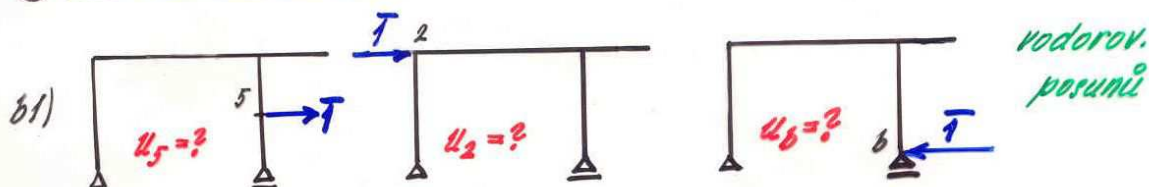


b) Vyřešíme dle hledaného přetvorění odpovídající jednotkové stavy $\Rightarrow \bar{M}, \bar{N}, \bar{Q}$

c) Z rovnice (I) PVS určíme skutečné přetvorění.

Jednotkové zatěžovací stavy:

určení'

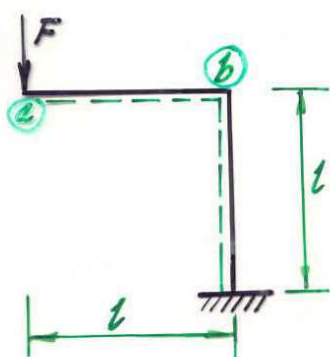


práce jednotk. „síl“:

- b1) $\bar{T} \cdot u_6$
- b2) $\bar{T} \cdot w_1$
- b3) $\bar{T} \cdot y_4$
- b4) $\bar{T} \cdot \Delta u_{25}$
- b5) $\bar{T} \cdot \Delta y_{23}$

Příklad

Pomocí principu virtuálních prací určete
 a) pootočení ϑ volného konce lomeného nosníku, zatíženého dle obr.
 b) Dále určete vodorovný posun bodu b.



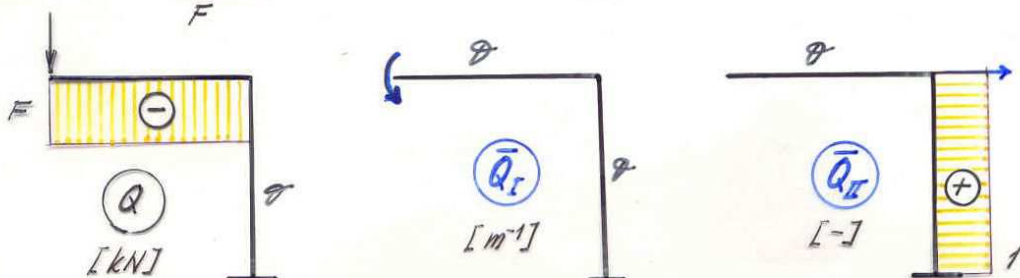
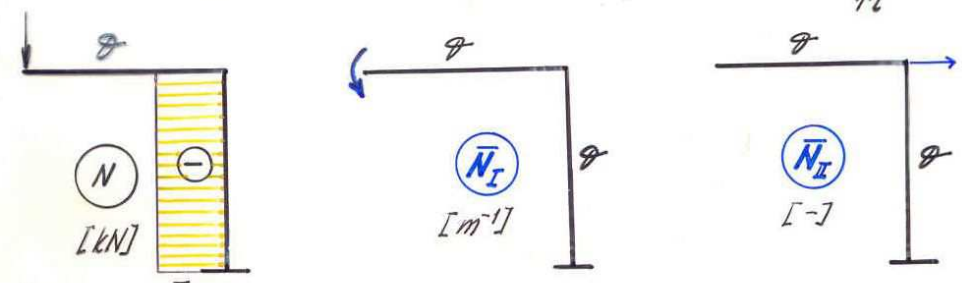
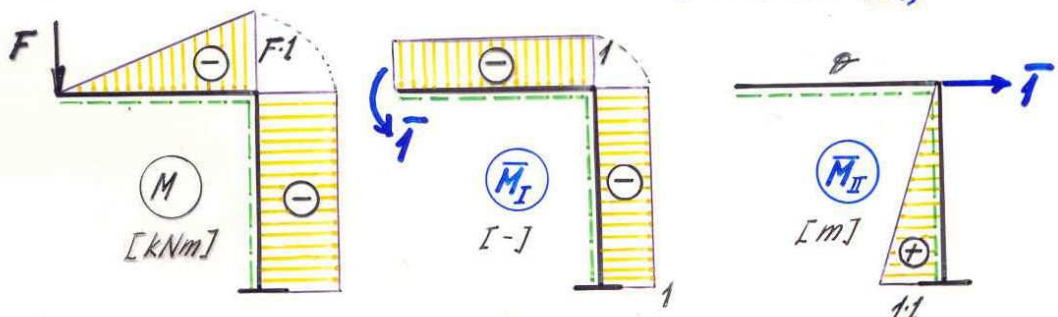
Řešení: Výchozí rovnice

$$\delta A_{int.} = \delta A_{ext.}$$

$$a) \int \frac{M}{EI} \bar{M}_I ds + \int \frac{N}{EA} \bar{N}_I ds + \int \frac{\bar{Q}_I}{GA} \bar{Q}_I ds = \vartheta_a \cdot \bar{F}$$

$$b) \int \frac{M}{EI} \bar{M}_{II} ds + \dots \dots \dots = u_b \cdot \bar{F}$$

(nemáme vedl. vlivy: t, st, ...
 \Rightarrow redukce v (I))



Redlný stav

sednotkový stav I

sednotkový stav II

Principem virtuálních sil určíme:

a) pootočení φ_a :

$$\bar{F} \cdot \varphi_a = \int \frac{M}{EI} \bar{M}_I ds + \underbrace{\int \frac{N}{EA} \bar{N}_I ds}_{0} + \underbrace{\int \frac{\beta Q}{GA} \bar{Q}_I ds}_{0}$$

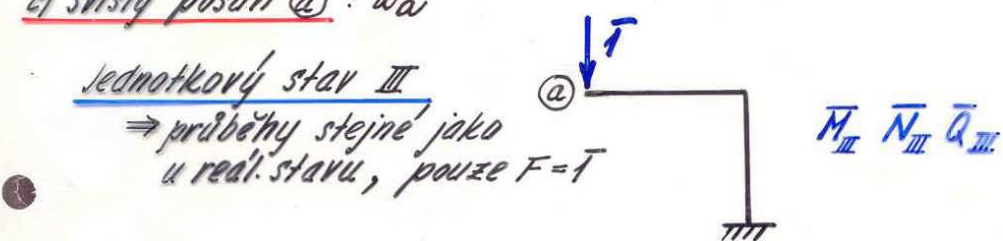
$$= \frac{1}{EI} \left(l \frac{Fl}{2} + Fl^2 \right) = \frac{3}{2} \frac{Fl^2}{EI} \quad \dots \text{k pootočení dochází reálnému působení zavedeného momentu } \bar{F}$$

b) vodorovný posun δ_b : u_b

$$\bar{F} \cdot u_b = \int \frac{M}{EI} \bar{M}_II ds + \underbrace{\int \frac{N}{EA} \bar{N}_II ds}_{0} + \underbrace{\int \frac{\beta Q}{GA} \bar{Q}_II ds}_{0}$$

$$= \frac{1}{EI} \left(-Fl \cdot l \cdot \frac{l}{2} \right) = -\frac{1}{2} \frac{Fl^3}{EI} \quad \dots \text{skutečný posun se děje proti zvolené síle } \bar{F}$$

c) svislý posun δ_c : w_a

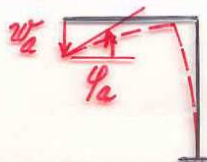


$$\bar{F} \cdot w_a = \int \frac{M}{EI} \bar{M}_{III} ds + \int \frac{N}{EA} \bar{N}_{III} ds + \int \frac{\beta Q}{GA} \bar{Q}_{III} ds$$

$$= \frac{1}{EI} \left(\frac{1}{2} l \cdot Fl \cdot \frac{2}{3} l + l \cdot Fl \cdot l \right) + \frac{1}{EA} (Fl \cdot l \cdot 1) + \frac{\beta}{GA} (Fl \cdot l)$$

$$= \frac{4}{3} \frac{Fl^3}{EI} + Fl \left(\frac{1}{EA} + \frac{\beta}{GA} \right)$$

!! Síla (moment) = \bar{F} koná kladnou práci, je-li orientace síly (momentu) a posunu (ootočení) shodná.



Kýpočet integrálního typu $\int f \cdot g \cdot dx$

$(\int M \bar{M} dx, \int N \bar{N} dx, \dots)$

a) přímou integraci - použití u prutů přímých i zakřivených

Základní kombinace pro pruty přímé s konst. EI propočteny v tabulkách.

M	\bar{M}_a \bar{M}_b	\bar{M}_a	\bar{M}_a \bar{M}_b
	$\frac{1}{2} M_a \bar{M}_a l$	$\frac{1}{3} M_a \bar{M}_a l$	$\frac{1}{6} M_a (2\bar{M}_a + \bar{M}_b)l$
	$\frac{2}{3} \bar{M}_a M_c l$	$\frac{1}{3} \bar{M}_a M_c l$	$\frac{1}{3} M_c (M_a + \bar{M}_b)l$
	$\frac{1}{3} \bar{M}_a M_b l$	$\frac{1}{12} \bar{M}_a M_b l$	$\frac{1}{12} M_b (\bar{M}_a + 3\bar{M}_b)l$

Tab. 1

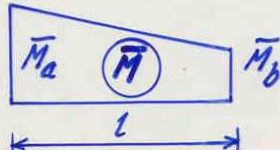
• vrchol
paraboly

b) numerickou integraci - nahrazuje přímou integrací.

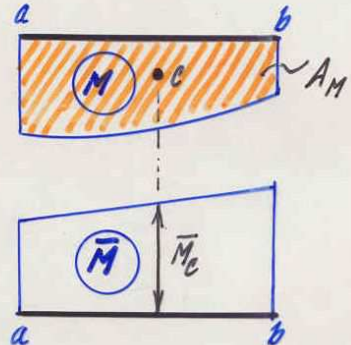
1) spojování dvou přímkových ploch:



$$\begin{aligned} \int_a^b M \bar{M} dx &= \\ &= \frac{l}{6} [M_a(2\bar{M}_a + \bar{M}_b) + M_b(2\bar{M}_b + \bar{M}_a)] \\ &= \frac{l}{6} [\bar{M}_a(2M_a + M_b) + \bar{M}_b(2M_b + M_a)] \end{aligned}$$



2) Véresčaginovo pravidlo - spojování přímkové a zakřivené plochy
(příp. dvou ploch přímkových)



$$\int_a^b M \bar{M} dx = A_M \cdot \bar{M}_c$$

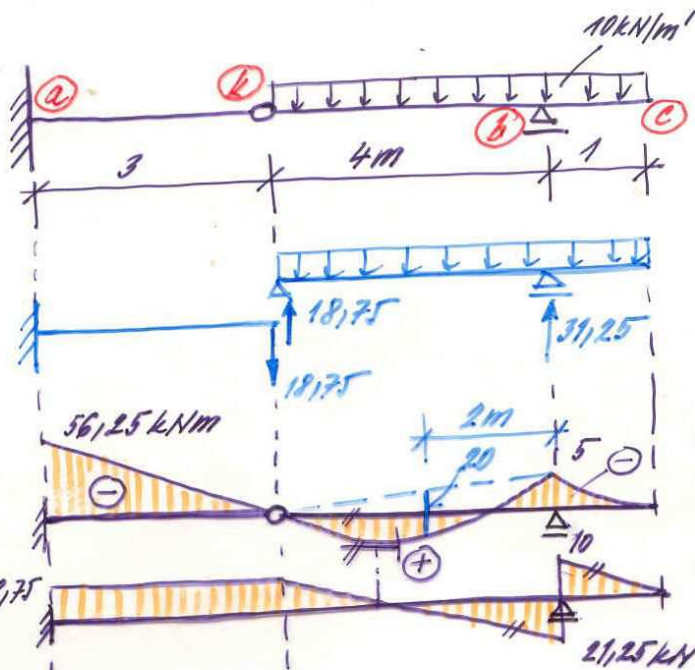
A_M ... vysrafovovaná plocha

\bar{M}_c pořadnice fce \bar{M}
odečtená v místě
težiště c plochy A_M

Poznámka:

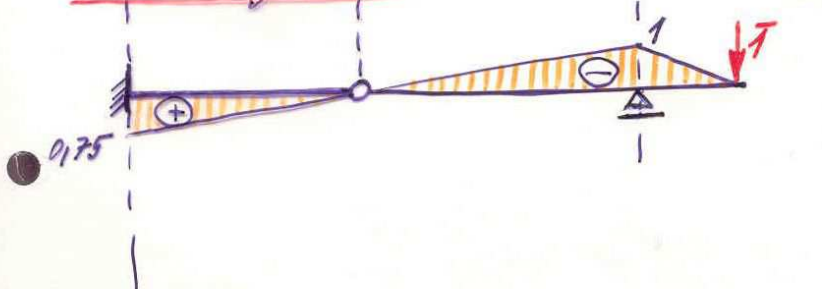
Slučujeme-li Véresčaginovým pravidlem dvě přímkové plochy, je jedno, u které z nich počítáme **není** plochu.

(Pr) PVP určete $w_c = ?$ [EI = konst. = 30 MNm^2] 11-10
 (pouze s návazem M)



$$\frac{1}{8} \cdot f \cdot l^2 = \frac{1}{8} \cdot 10 \cdot 16 = 20 \text{ kNm}$$

sedmotkový stav:



$$\bar{T} \cdot w_c = \int \frac{M \cdot \bar{M}}{EI} dx = \quad \text{stučováno dle tabulek}$$

$$= \frac{1}{EI} \left[\frac{1}{4} \cdot 1 \cdot 5 \cdot 1 + \frac{1}{3} \cdot 1 \cdot 5 \cdot 4 - \frac{1}{3} \cdot 1 \cdot 20 \cdot 4 - \frac{1}{3} \cdot 56,25 \cdot 0,75 \cdot 3 \right]$$

$$= - \frac{60,99}{30 \cdot 10^3} = - 2,03 \cdot 10^{-3} \text{ m}$$

⇒ posun w_c je směrem nahoru

V předchozí části bylo závěrno:

virtuální stav silový nahrazujeme jednotkovým silovým stavem

⇒ úprava rov. (I):

$$\int \left(\frac{M\bar{M}}{EI} + \frac{\bar{M}\Delta t}{h} \right) dx + \int \left(\frac{N\bar{N}}{EA} + \bar{N}\Delta t \right) dx + \int \left(\frac{Q\bar{Q}}{GA} \beta \right) dx = \sum \bar{R}_M \cdot \tilde{\varphi} + \sum \bar{R}_F \cdot \tilde{w} \quad (I')$$

vedlejší vliv - teplota (nerovnoměrná, rovnoměrná)

zahrnuje vedl. vliv předepsaného pootočení posun

$M, N, Q \dots$ průběhy vnitřních sil na reálné kci

(kci staticky určité - $M \neq 0, N \neq 0, Q \neq 0 \dots$ při silovém zatížení.
 $M=N=Q=0 \dots$ při zatížení pouze vedl. vlivem !)

X kci staticky neurčité - $M \neq 0, N \neq 0, Q \neq 0 \dots$ při silovém zatížení,
POZOR → ale i při zatížení pouze vedlejším vlivem)

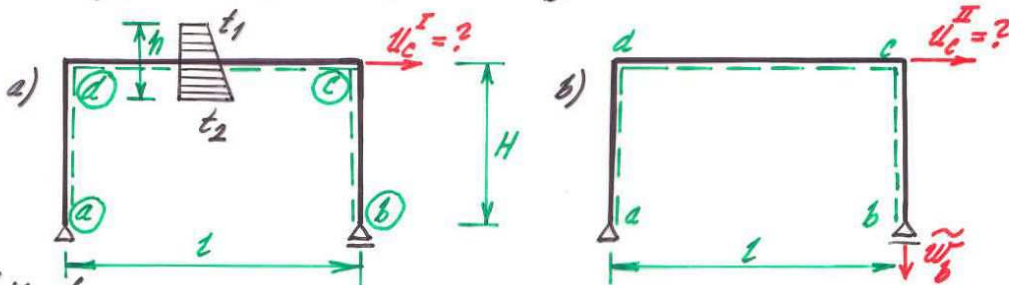
$\bar{M}, \bar{N}, \bar{Q} \dots$ průběhy vnitřních sil od odpovídajících jednotkových zatíž. stavů silových
 (vždy realizovány na stat. určité kci)

\bar{R}_M - jednotkový zatížovací moment $\bar{M} = \bar{T}$ při hledání φ
 n. moment. reakce při jednotkovém stavu hledaná v místě zadaného $\tilde{\varphi}$ (vedlejší vliv v reálném stavu)

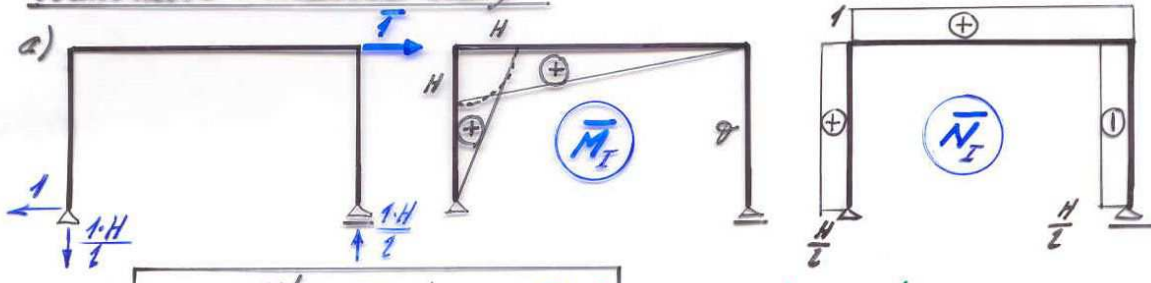
\bar{R}_F - jednotková síla \bar{T} při hledání posunu
 n. silová reakce při jednotkovém stavu hledaná v místě zadaného posunu (vedl. vliv v reálném stavu)

P.R.

Určete vodorovný posun stycníku \odot způsobený
 a) nerovnoměrným oteplením příčného
 b) poklesem podpory \odot o \tilde{w}_b .

řešení:

Realní stav: $M = N = Q = 0$ (silové zatížení = 0)
 (na kci stav určíte' vzd. vlny nezpůsobi' nenulové vnitřní síly)

Jednotkové zatížovací stavy

$$(I') \int (\bar{M}_I \frac{\partial \sigma}{\partial x} + \bar{N}_I \partial \epsilon) dx = T \cdot u_c^I$$

 $\hbar \dots \text{výška příčky}$

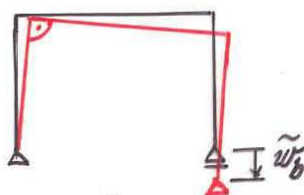
$$t = \frac{l}{2}(t_1 + t_2); \Delta t = t_2 - t_1$$

$$u_c^I = \frac{\alpha(t_2 - t_1)}{h} \frac{l}{2} l \cdot H + \alpha \frac{t_1 + t_2}{2} l \cdot l$$

b) — počítáme opět $u_c \Rightarrow$ stejný jednotkový stav jako a)
 teplota = 0, sil. zatíž. = 0 \Rightarrow levá str. (I') = 0

$$(I') 0 = T \cdot u_c^I + (-\frac{H}{l}) \cdot \tilde{w}_b$$

$$u_c^I = \frac{H}{l} \tilde{w}_b$$



Pozor: u staticky neurčitých kci' vyvolává' pokles podpory
 vnitřní síly \Rightarrow levá str. rov. (I') $\neq 0$! ($\leftarrow M \neq 0, N \neq 0, Q \neq 0$)

Pr. Pro kci na obr. určete jaký uhlík má!

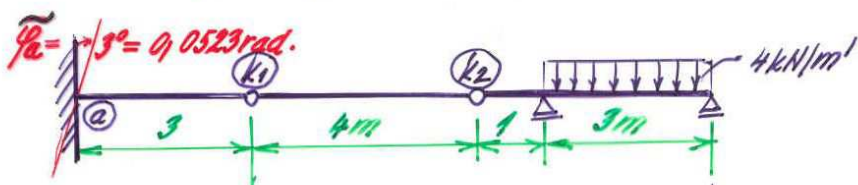
a) silové námořní $f = 4 \text{ kN/m}^2$ ($EI = 20 \text{ MNm}^2$)

b) předepsané pootočení $\varphi_a = 3^\circ$

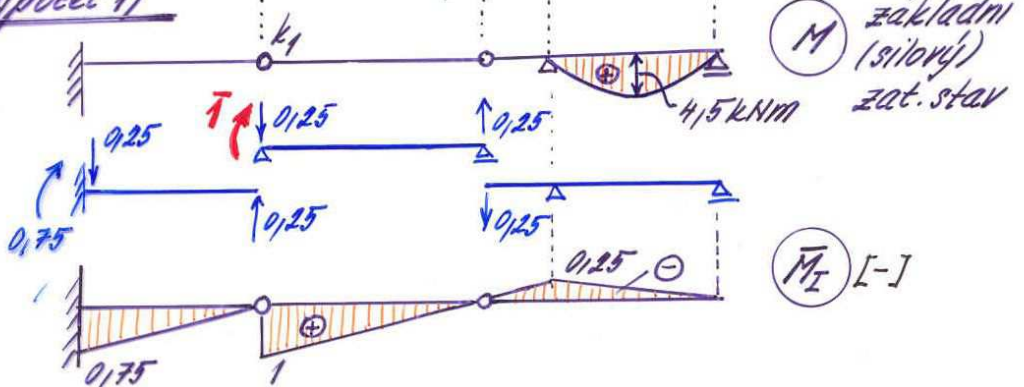
1) na pootočení $\varphi_{k_1}^P = ?$

2) na pootočení $\varphi_{k_1}^E = ?$

3) na vzajemné pootočení prutů v k_1 $\Delta\varphi_{k_1} = ?$



Výpočet 1)

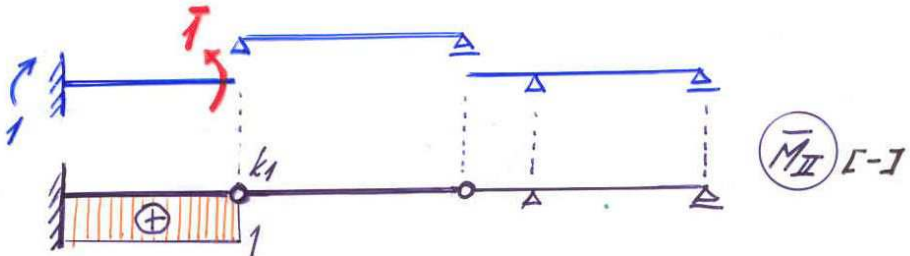


$$a) \varphi_{k_1}^P = \int M \cdot M_T \frac{1}{EI} dx = \left[-\frac{2}{3} \cdot 3 \cdot 4,5 \cdot \frac{0,25}{2} \right] \frac{1}{EI} = -0,056 \cdot 10^{-3} \text{ rad}$$

$$b) 0 = 0,75 \cdot 0,0523 + T \cdot \varphi_{k_1}^P \Rightarrow \varphi_{k_1}^P = -0,039 \text{ rad}$$

Celkový účinek a) i b) na pootočení $\varphi_{k_1}^P$ je součet
a) + b):

$$\varphi_{k_1}^P = -0,039056 \text{ rad}$$

Výpočet 2)

a) $\varphi_{k_1}^e = \int M \cdot \bar{M}_II \frac{dx}{EI} = 0 \Rightarrow$ silové namáhání nemá na pootočení zlara vliv

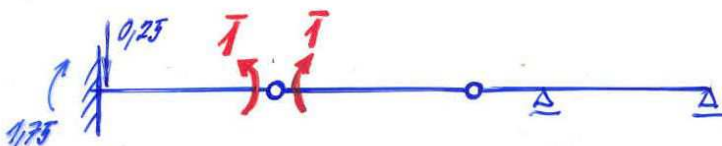
b) $0 = 1 \cdot \varphi_e + T \cdot \varphi_{k_1}^e \Rightarrow \varphi_{k_1}^e = -0,0523 \text{ rad.}$

Celkový účinek $\varphi_{k_1} = -0,0523 \text{ rad.}$

Výpočet 3) superpozici 1) a 2)

$$\Delta \varphi_{k_1} = 0,039 + 0,052 = 0,091 \text{ rad.}$$

Totéž bychom obdrželi při kombinaci základního (silového) zatěžovacího stavu a následujícího jednotkového zatěžovacího stavu:



$$T \cdot \Delta \varphi_{k_1} + 1,75 \cdot \varphi_e = 0 \Rightarrow \Delta \varphi_{k_1} = -0,091 \text{ rad.}$$

Přetvoření prutových kocí s kloby pomocí PVsil

U příhradových kocí zatíž. ve stycňicích: $M = Q = 0$

Obvykle' podepření: pernými, posuv. klobouky, kryvnými pruty

\Rightarrow redukce rov. (I'):

$$\sum_i \left(\frac{N_i \bar{N}_i}{E_i A_i} l_i + \alpha t_i l_i \bar{N}_i \right) = \sum R_F \cdot \tilde{w} \quad (I'')$$

sečtame přes všechny
praty kocí

sečtame přes místa
hledaných, či zadaných posunů

N_i osové sily v reál. stavu v i-tém prutu

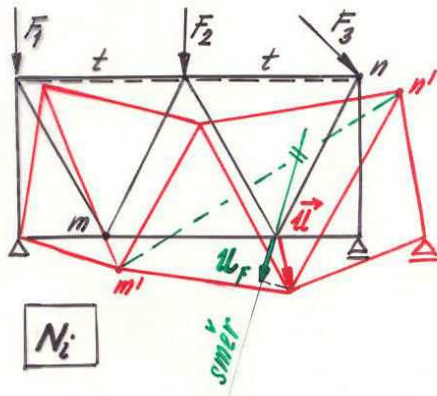
\bar{N}_i osové sily v jedn. stavu v i-tém prutu

l_i původní délka prutu,

A_i průřezová plocha prutu

PR.

a) Hledáme posun u_F v daném směru \Rightarrow
Realní stav sednotkový stav

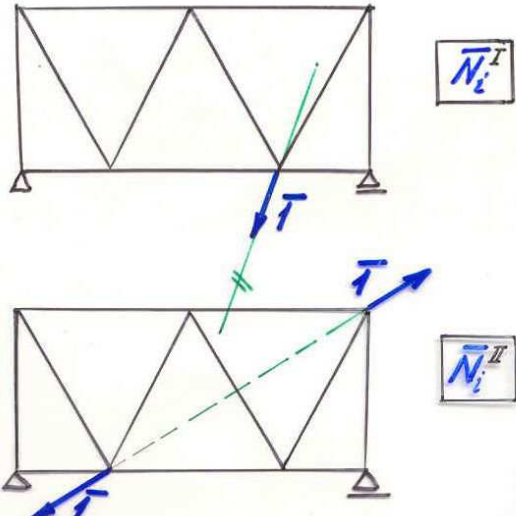


b) Hledáme změnu vzdálenosti Δu_{mn} \Rightarrow

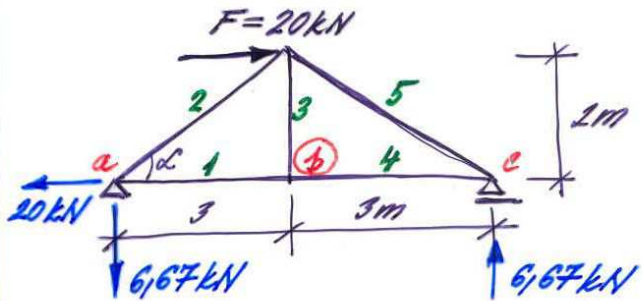
Pravé str. rov. (I''):

a) $\bar{T} \cdot u_F$

b) $\bar{T} \cdot \Delta u_{mn}$



Pr PVP určete: $w_b = ?$



$$EA = 200 \text{ MN}$$

$$\sin \alpha = \frac{2}{3,61} = 0,554$$

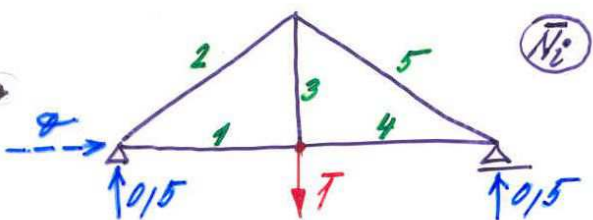
$$\cos \alpha = \frac{3}{3,61} = 0,831$$

$$l_2 = l_5 = \sqrt{4+9} = \underline{\underline{3,61 \text{ m}}}$$

	[kN]	[-]	[m]	[kNm]
i	N_i	\bar{N}_i	l_i	$N_i \cdot \bar{N}_i \cdot l_i$
1	10	0,75	3	22,5
2	12	-0,9	3,61	-40,0
3	0	1	2	0
4	10	0,75	3	22,5
5	-12	-0,9	3,61	40,0

$$\sum = 45,0$$

Jednotkový stav:

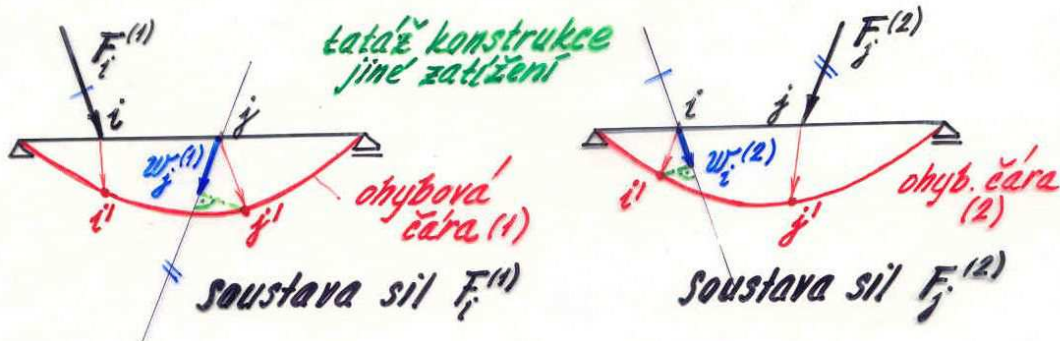


$$w_b = \sum_{i=1}^5 \frac{N_i \cdot \bar{N}_i}{EA} \cdot l_i = \frac{45}{200 \cdot 10^3} = \frac{22,5 \cdot 10^{-5}}{= 0,225 \text{ mm}}$$

Pruhýb je směrem dolů!

Bettiho věta o vzájemnosti

Definice: Práce sil soustavy $F_i^{(1)}$ na posunech $w_i^{(2)}$ způsobených soustavou sil $F_j^{(2)}$ se rovná práci sil soustavy $F_j^{(2)}$ na posunech $w_i^{(1)}$ způsobených soustavou sil $F_i^{(1)}$.



$$\sum_i F_i^{(1)} w_i^{(2)} = \sum_j F_j^{(2)} w_j^{(1)} \quad (\text{II})$$

Důkaz: Jednu soustavu poražujeme za reálnou, a druhou za virtuální. Uvažíme rovnost virtuálních prací sil vnějších a vnitřních:

$$\sum_i F_i^{(1)} w_i^{(2)} = \int \left[\frac{N^{(2)}}{EA} \cdot N^{(1)} + \frac{M^{(2)}}{EI} \cdot M^{(1)} + \frac{\beta Q^{(2)}}{GA} \cdot Q^{(1)} \right] ds$$

mirt. reál.

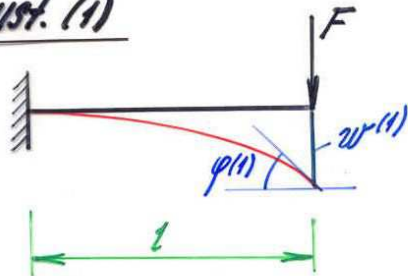
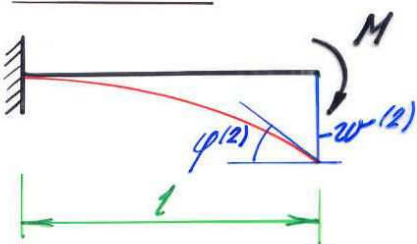
$$\sum_j F_j^{(2)} w_j^{(1)} = \int \left[\frac{N^{(1)}}{EA} \cdot N^{(2)} + \frac{M^{(1)}}{EI} \cdot M^{(2)} + \frac{\beta Q^{(1)}}{GA} \cdot Q^{(2)} \right] ds$$

mirt. reál.

Pravé strany se rovnají, musí se tedy rovnat i levé (c.b.d.).

Příklad

Konzola zatížena dvěma soustavami
 soust. (1) — zatížení silou F
 soust. (2) — zatížení momentem M

soust. (1)soust. (2)

Bettiho věta :

$$Fw''(2) = M\varphi''(1)$$

při $F=M=1$

$$1 \cdot w''(2) = 1 \cdot \varphi''(1) \Rightarrow \underline{\underline{w''(2)=\varphi''(1)}} \quad \text{budeme využívat} \\ \text{u silové metody (SM)}$$

SILOVÁ METODA

-použití: pro výpočet vnitřních sil na staticky neurčitých kocích

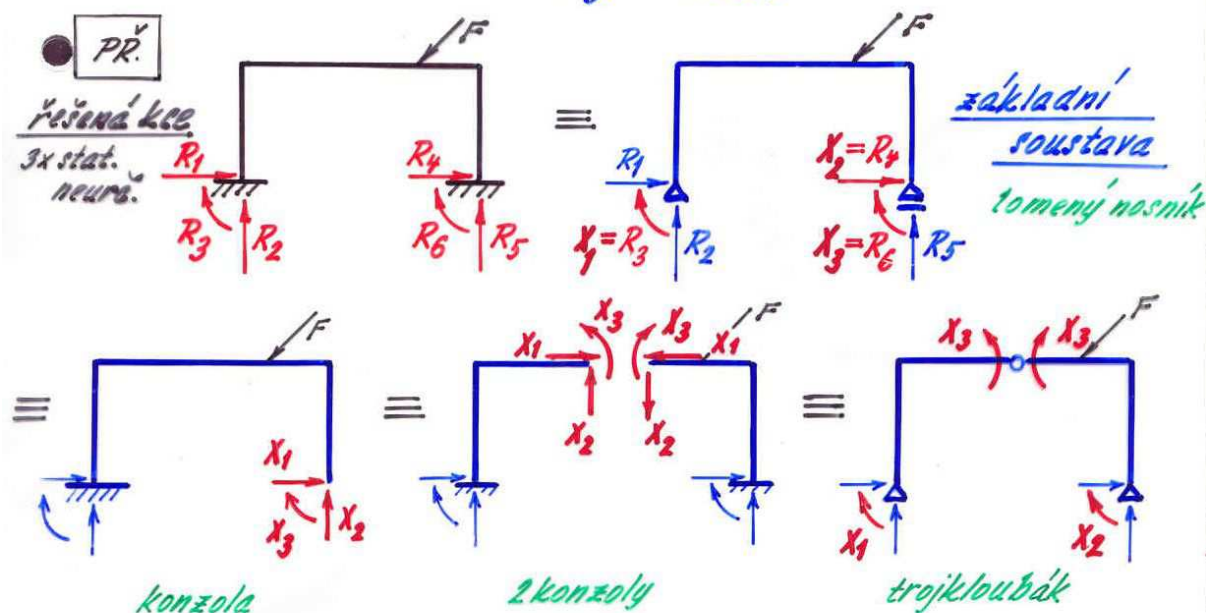
Podstata silové metody (SM)

základní předpoklad	Pole vnitřních sil M, Q, N je rovnovážné
řídící variační princip	Castiglianův
Neznámé	staticky neurčité „sily“ x_i
Podmínečné rovnice	Podmínky spojitosti průřezů = přetvarné podmínky

1) Vytvoření rovnovážného pole vnitřních sil

Výsledné vnitřní sily M, N, Q vyjádříme jako lineární kombinaci zatěžovacích stavů na tzv. základní soustavě (z.s.)

(z.s. = konstrukce staticky určitá)

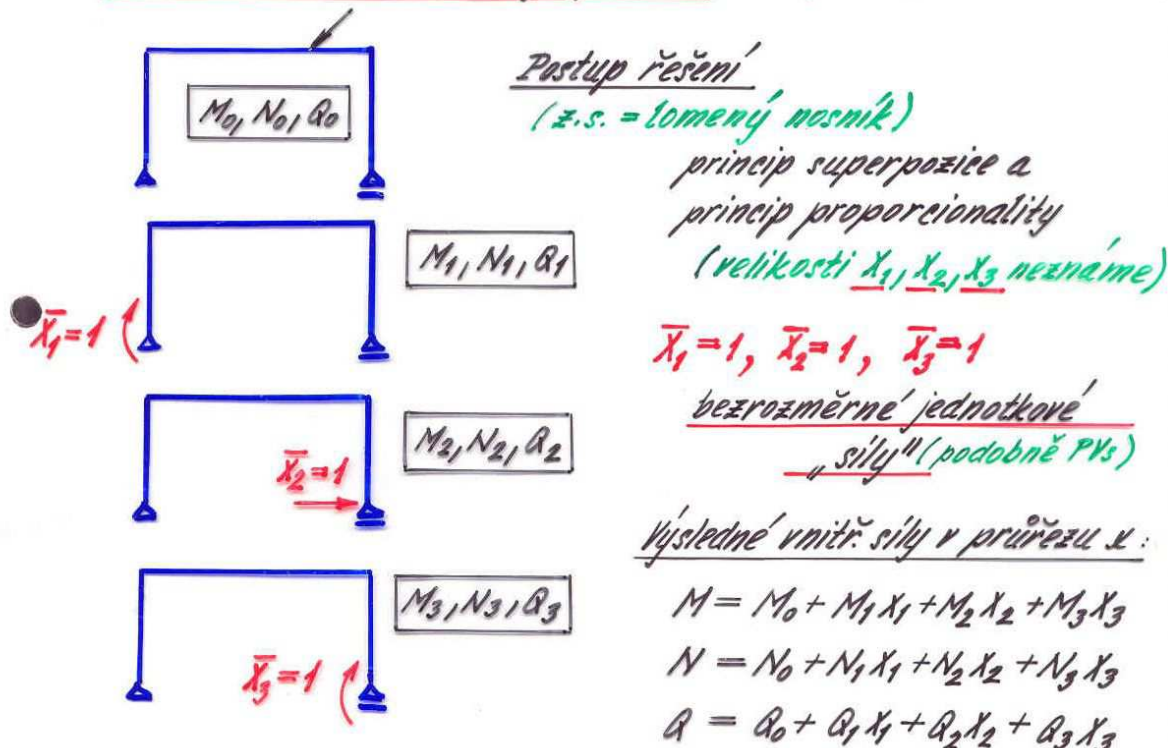


Existuje mnoho způsobů volby základní soustavy.

Staticky neurčité síly

za nejší slásky reakci ... „jedenkrát“

- ✗ vnitřní stat. neurčité síly = párové (\Leftarrow z principu akce a reakce)



Výsledné vnitřní síly v průřezu x:

$$\begin{aligned} M &= M_0 + M_1 X_1 + M_2 X_2 + M_3 X_3 \\ N &= N_0 + N_1 X_1 + N_2 X_2 + N_3 X_3 \\ Q &= Q_0 + Q_1 X_1 + Q_2 X_2 + Q_3 X_3 \end{aligned}$$

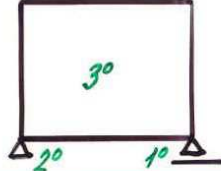
Výsledné vnitřní síly u kce n krát staticky neurčité

$$\begin{aligned} M(x) &= M_0(x) + \sum_i M_i(x) X_i \\ N(x) &= N_0(x) + \sum_i N_i(x) X_i \\ Q(x) &= Q_0(x) + \sum_i Q_i(x) X_i \end{aligned} \tag{1}$$

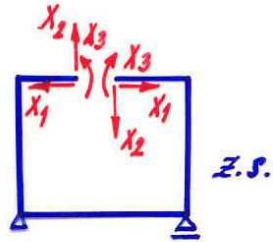
kde: $M_0, N_0, Q_0 \dots$ průběhy způsobené rnejsím zatízením na
zákl. soustavě (základní zatežovací stav)

$M_i, N_i, Q_i \dots$ průběhy na z.s. vyvolané „sílami“ $\bar{X}_i = 1$
(tzv. jednotkové zatežovací stav)

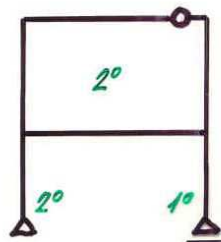
Příklady určení statické neurčitosti kee
 (stat. neurčitost nezávisí na druhu zatížení konstrukce)



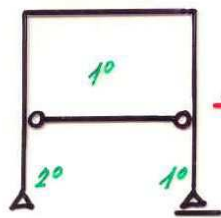
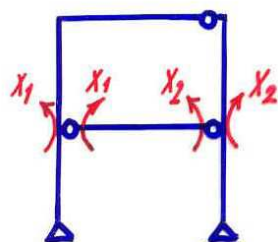
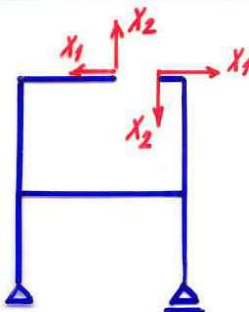
$$\delta = 6 - 3 = 3x$$



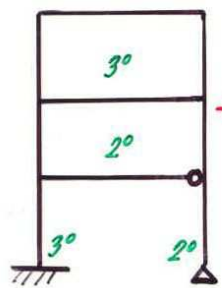
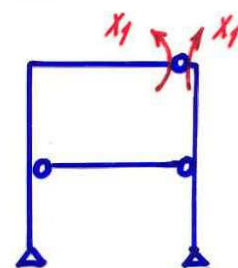
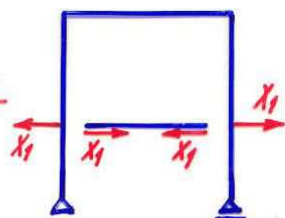
z.s.



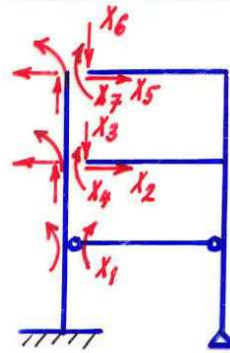
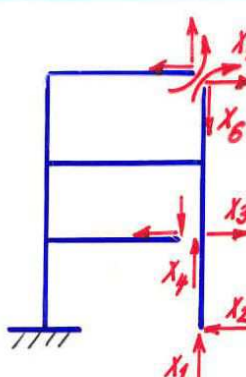
$$\delta = 5 - 3 = 2x$$



$$\delta = 4 - 3 = 1x$$



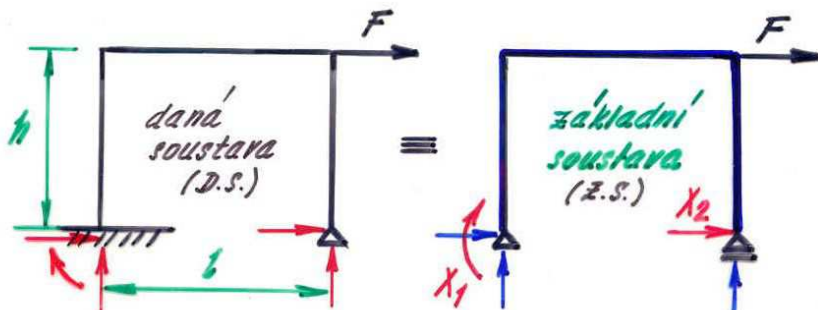
$$\delta = 10 - 3 = 7x$$



Základní soustavy = stat. určité kee staticky přípustné
 (\Rightarrow při jejich vytváření budeme vazbu necháme, nebo jdeme z vazby vyšší na vazbu nižší - neopacně)

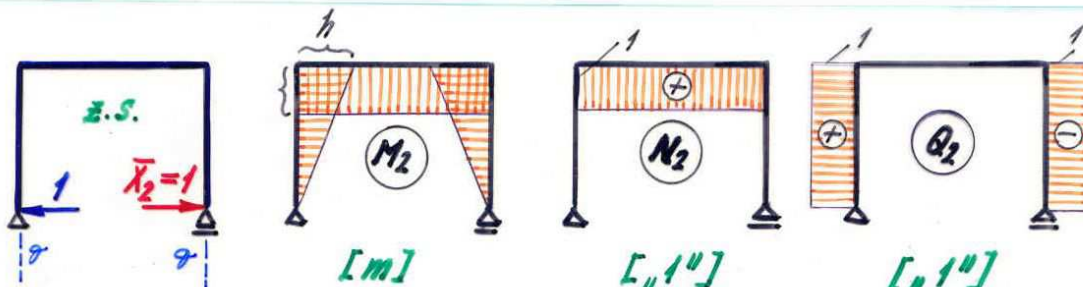
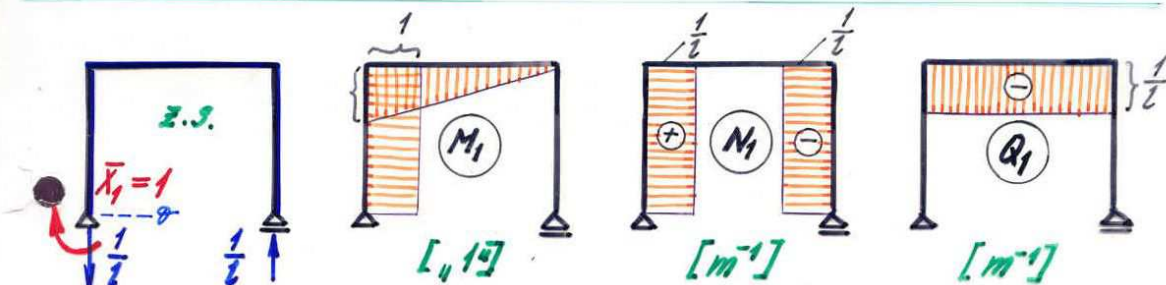
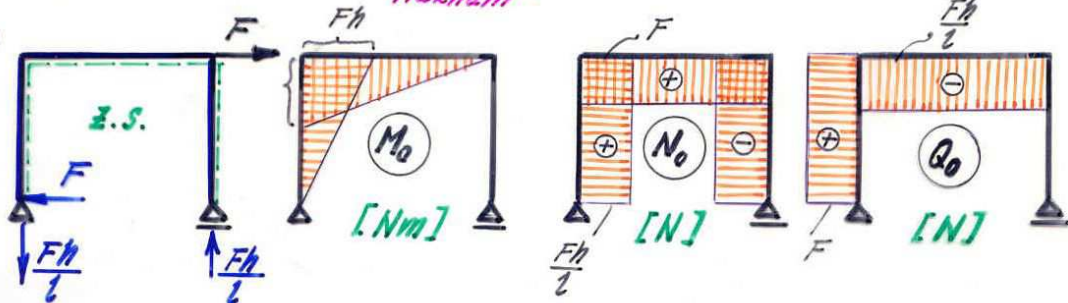
Příklad

Určete průběhy $M_0, N_0, Q_0, M_1, N_1, Q_1$ na základní soustavě, stanovené k zadání dle obr.



kresleno k taz. vlnkám

pozstatné znaménko

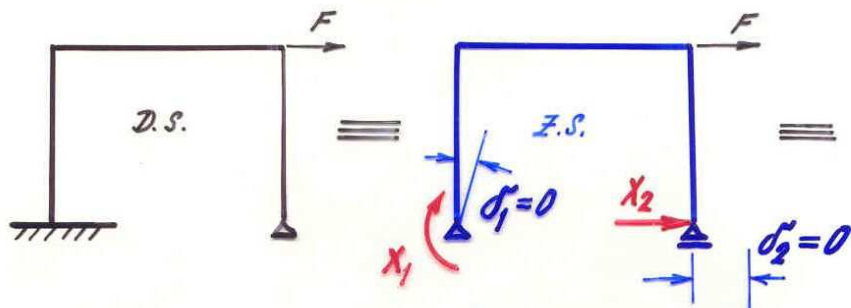


$$M = M_0 + M_1 X_1 + M_2 X_2$$

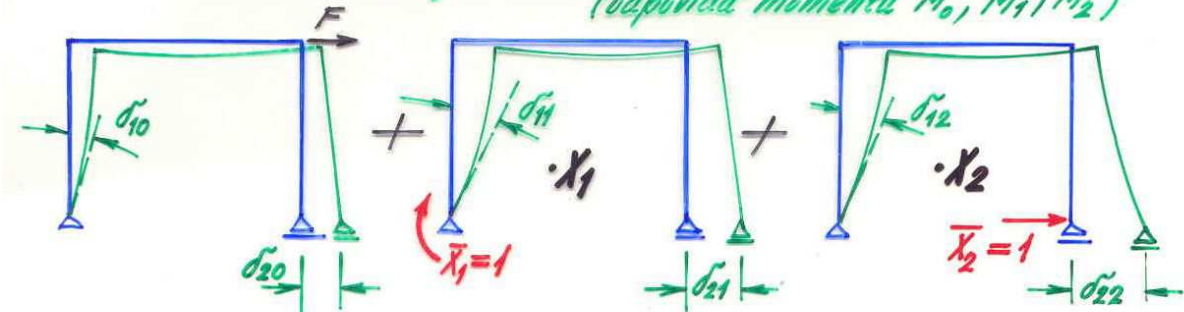
2. Podmínečné rovnice

= přetvarné podmínky, z kterých určíme x_i .

2.1. Naše kee rámu $2x$ stat. neurčitého



• Přetvoření při jednotlivých zatěžovacích stavech
(odpovídá momentům M_0, M_1, M_2)



Podle principu superpozice a proporcionality:

$$\begin{aligned} \rightarrow \delta_1 = 0 : \quad & \delta_{10} + \delta_{11} \cdot x_1 + \delta_{12} \cdot x_2 = 0 \\ \rightarrow \delta_2 = 0 : \quad & \delta_{20} + \delta_{21} \cdot x_1 + \delta_{22} \cdot x_2 = 0 \end{aligned} \quad \left. \begin{array}{l} \text{přetvarné'} \\ \text{(deformační)} \\ \text{podmínky} \end{array} \right\} \Rightarrow x_1, x_2$$

Deformace zákl. soustavy musí být stejná jako u řešené (dané) soustavy.

Koeficienty δ_{ij} ... přetvoření (určíme číselné PVs)

význam indexů ↓
příčina
místo a směr přetvoření

2.2. Konstrukce n krát staticky neurčitá'

Soustava podmínečných rovnic (zapsaná pro všechna místa uvolněných vazeb)

$$\begin{aligned} \tilde{\sigma}_{11}x_1 + \tilde{\sigma}_{12}x_2 + \dots + \tilde{\sigma}_{1n}x_n + \tilde{\sigma}_{10} &= 0 \\ \tilde{\sigma}_{21}x_1 + \tilde{\sigma}_{22}x_2 + \dots + \tilde{\sigma}_{2n}x_n + \tilde{\sigma}_{20} &= 0 \\ \vdots \\ \tilde{\sigma}_{n1}x_1 + \tilde{\sigma}_{n2}x_2 + \dots + \tilde{\sigma}_{nn}x_n + \tilde{\sigma}_{n0} &= 0 \end{aligned}$$

(2)

n.. rovnice
pro n neznámých
 x_1, x_2, \dots, x_n

Maticově:

$$\left[\begin{array}{cccc} \tilde{\sigma}_{11} & \tilde{\sigma}_{12} & \dots & \tilde{\sigma}_{1n} \\ \tilde{\sigma}_{21} & \tilde{\sigma}_{22} & \dots & \tilde{\sigma}_{2n} \\ \vdots & \vdots & & \vdots \\ \tilde{\sigma}_{n1} & \tilde{\sigma}_{n2} & \dots & \tilde{\sigma}_{nn} \end{array} \right] \left\{ \begin{array}{c} x_1 \\ x_2 \\ \vdots \\ x_n \end{array} \right\} + \left\{ \begin{array}{c} \tilde{\sigma}_{10} \\ \tilde{\sigma}_{20} \\ \vdots \\ \tilde{\sigma}_{n0} \end{array} \right\} = \left\{ \begin{array}{c} 0 \\ 0 \\ \vdots \\ 0 \end{array} \right\}$$

rozměry
matice, vektoru

Kompaktní maticový zápis

$$[\tilde{\sigma}_{ij}] \{x_j\} + \{\tilde{\sigma}_{i0}\} = \{0\}$$

↑ ↑ ↑
vektor neznámých vektor zatíž. nulový vektor

matice poddajnosti kce (čtvercová, symetrická)

$\tilde{\sigma}_{ij} = \tilde{\sigma}_{ji}$
(Bettiho věta)

Prvky $\tilde{\sigma}_{ij}$ matice poddajnosti představují zobrazené „posuny“ (tj. posun, pootočení, změna vzdálenosti, relativní pootočení) způsobené jednotkovými bezrozměrnými „sílami“ (sily, momenty) ve směrech „síl“!

3. Výpočet koeficientů $\tilde{\sigma}_{ij}$, $\tilde{\sigma}_{io}$ (= přetvoření na z.s. \leftarrow PIs)

$$\tilde{\sigma}_{ij} = \int \frac{M_i M_j}{EI} dx + \int \frac{N_i N_j}{EA} dx + \beta \int \frac{Q_i Q_j}{GA} dx \quad (3a)$$

prvky matice poddajnosti

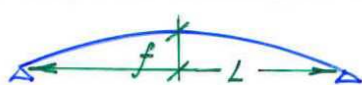
$$\begin{aligned} \tilde{\sigma}_{io} = & \int \frac{M_i M_o}{EI} dx + \int \frac{N_i N_o}{EA} dx + \beta \int \frac{Q_i Q_o}{GA} dx + \\ & + \int N_i \alpha t dx + \int M_i \alpha \frac{\Delta t}{h} dx + \\ & - \sum R_{F_i} \tilde{u} - \sum R_{M_i} \tilde{\varphi} \end{aligned} \quad \begin{array}{l} \text{zatížení'} \\ \leftarrow \text{silové'} \\ \leftarrow \text{teplota} \\ \leftarrow \text{popuštění,} \\ \text{pootočení,} \\ \text{podpory} \end{array} \quad (3b)$$

prvky zatěžovacího vektoru

Poznámka:

- 1.) Integrace po skutečné délce střednice kce (t.j. po všech prutech)
- 2.) R_{F_i} , R_{M_i} ... reakce v místě předepsaných hodnot \tilde{u} , $\tilde{\varphi}$
od $\bar{x}_i = 1$
- 3.) U většiny kci' PS - vliv N , Q na přetvoření zanedbatelný
 \Rightarrow největší vliv z vnitř. sil mají M

X vliv N nelze zanedbat: u lámel



u příhradových kci'
u nízkých oblouků $\frac{f}{L} \leq \frac{1}{3}$

vliv Q - uvažujeme u vysokých a krátkých nosníků

\Rightarrow u obvyklých ohýbaných kci' (bez zatížení' vedlejšími vlivy)

$$\tilde{\sigma}_{ij} = \int \frac{M_i M_j}{EI} dx$$

$$\tilde{\sigma}_{io} = \int \frac{M_i M_o}{EI} dx$$

4. Postup výpočtu SM a kontroly řešení

1. Určíme stupeň statické neurčitosti kce...n.
2. Zvolíme základní soustavu (z.s.), zavedeme x_i ($i = 1, \dots, n$).
3. Sestavíme přetrvárné podmínky $\Rightarrow x_i$
(Na z.s. určíme a vykreslíme M_0, M_i (N_0, N_i) a určíme velikosti σ_{ij}, σ_{io}).
4. Určíme výsledné průběhy M, N, Q .
5. Provedeme kontroly výsledků řešení.

Výsledné řešení stat. neurčité kce musí splňovat:

a) statické podmínky rovnováhy

- soustavy jako celku (rovnováha zatížení a měřítek reakcí)
všech sil a momentů působících na jednotlivé styčníky, případně části kce

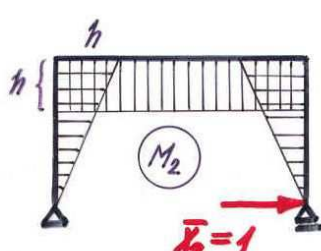
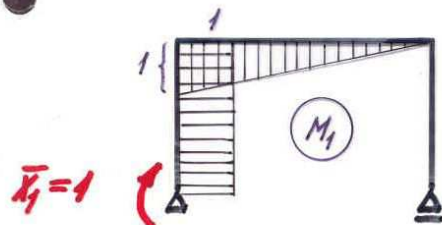
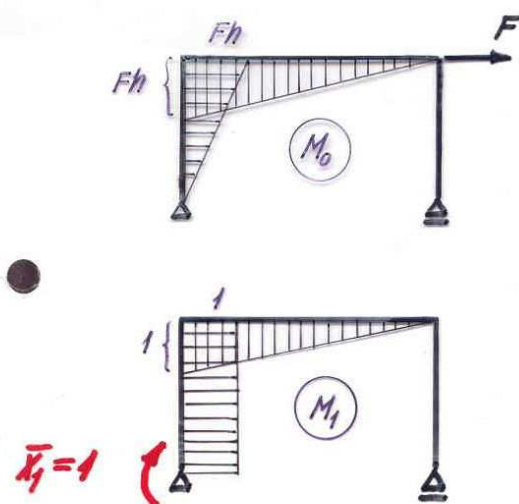
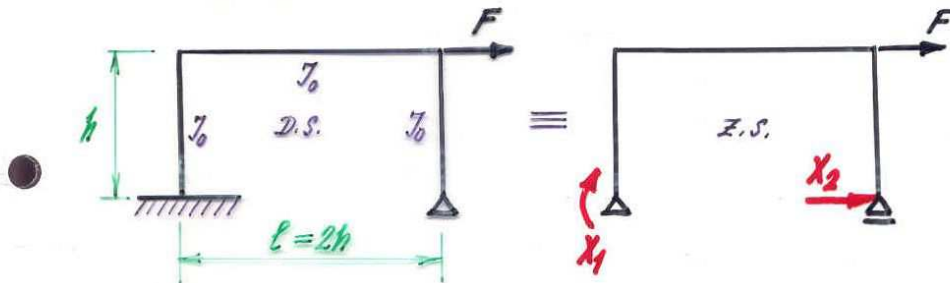
b) Přetrvárné podmínky (Používáme PVs a redukční řetu)

Splnění pouze statických podmínek není postačující!

příklady výpočtu

Vypočtěte a vykreslete průběhy M , N , Q na konstrukci 2x staticky neurčité. Při výpočtu součinitelů poddajnosti δ_{ij} , δ_{ij}^* uvažujte pouze vliv ohýbových momentů.

a) Uvažujte zatížení silou F



Výpočet koeficientů poddajnosti

$$\delta_{11} = \frac{h}{EI_0} + \frac{1}{2} \frac{2h}{EI_0} \frac{2}{3} = \frac{5}{3} \frac{h}{EI_0}$$

$$\delta_{12} = \frac{1}{2} \frac{h^2}{EI_0} \frac{1}{2} + \frac{1}{2} \frac{2h^2}{EI_0} \frac{1}{3} = \frac{3}{2} \frac{h^2}{EI_0}$$

$$\delta_{22} = \frac{2}{2} \frac{h^2}{3} \frac{2}{3} \frac{h}{EI_0} + \frac{2h^2}{2} \frac{1}{EI_0} = \frac{8}{3} \frac{h^3}{EI_0}$$

$$\delta_{10}^* = \frac{1}{2} \frac{hFh}{EI_0} + \frac{1}{2} \frac{2h^2}{2} \frac{2}{3EI_0} = \frac{7}{6} \frac{Fh^2}{EI_0}$$

$$\delta_{20}^* = \frac{1}{2} \frac{h^2}{2} \frac{2}{3} \frac{h}{EI_0} + \frac{1}{2} \frac{2h^2}{2} \frac{Fh}{EI_0} = \frac{4}{3} \frac{Fh^3}{EI_0}$$

Podmínečné rovnice

$$\delta_{11}x_1 + \delta_{12}x_2 + \delta_{10} = 0$$

$$\delta_{21}x_1 + \delta_{22}x_2 + \delta_{20} = 0$$

$$\frac{5}{3} \frac{h}{EI_0} \underline{x_1} + \frac{3}{2} \frac{h^2}{EI_0} \underline{x_2} + \frac{7}{6} \frac{Fh^2}{EI_0} = 0 \quad | \cdot \frac{6EI_0}{h}$$

$$\frac{3}{2} \frac{h^2}{EI_0} \underline{x_1} + \frac{8}{3} \frac{h^3}{EI_0} \underline{x_2} + \frac{4}{3} \frac{Fh^3}{EI_0} = 0 \quad | \cdot \frac{6EI_0}{h^2}$$

$$10x_1 + 9(x_2h) + 7Fh = 0$$

$$9x_1 + 16(x_2h) + 8Fh = 0$$

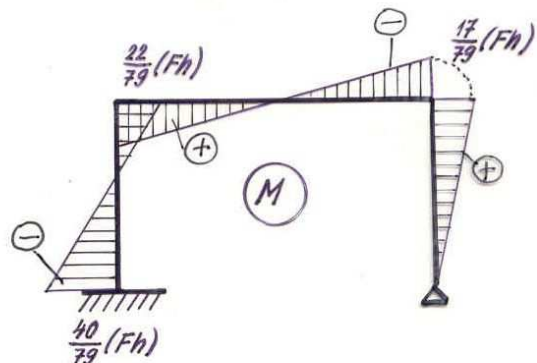
} \Rightarrow symetrie matice poddajnosti

$$x_1 = -\frac{40}{79}(Fh)$$

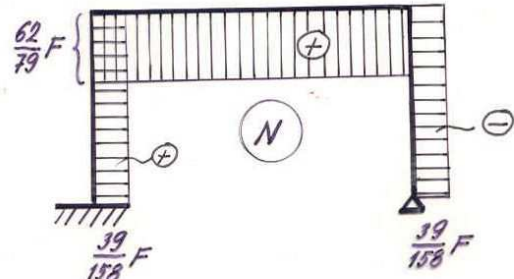
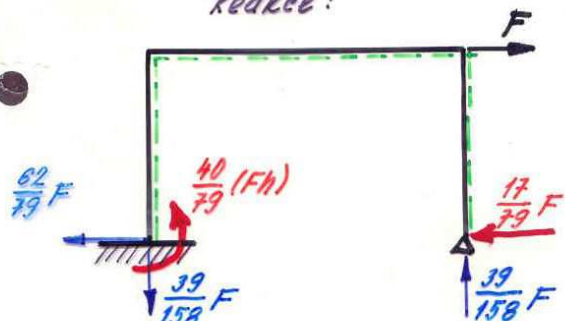
[kNm]

$$x_2 = -\frac{17}{79}F$$

[kN]



Reakce:



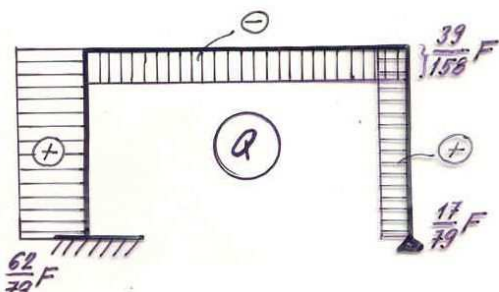
Výsledné hodnoty M, N, Q

Ize určit:

$$M = M_0 - \frac{40}{79}(Fh)M_1 - \frac{17}{79}FM_2$$

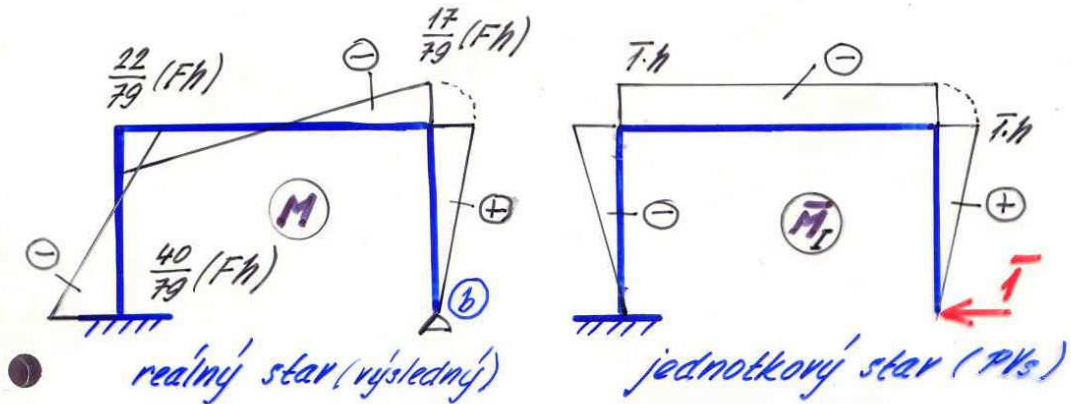
$$N = N_0 - \frac{40}{79}(Fh)N_1 - \frac{17}{79}FN_2$$

$$Q = Q_0 - \frac{40}{79}(Fh)Q_1 - \frac{17}{79}FQ_2$$



Kontrola přetvarových podmínek:

Např.: $u_b = 0$ - použijeme redukční řetěz -
(počítáno pouze s vlivem M)



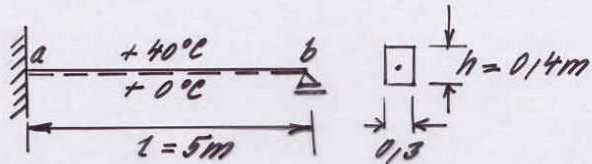
$$\begin{aligned} T \cdot u_b &= \int \frac{M \cdot M_I}{EI} dx = \frac{Fh}{79 \cdot EI} \left[\frac{1}{3} \cdot 17(\bar{1}h) \cdot h + 2,5 \cdot (-\bar{1}h) \cdot 2h \right. \\ &\quad \left. + \frac{h}{6} (2 \cdot 22 - 40) \cdot \bar{1}h \right] = \\ &= \frac{Fh^3}{79EI} \underbrace{\left[\frac{17}{3} - \frac{15}{3} - \frac{2}{3} \right]}_8 = 0 \end{aligned}$$

$w_b = 0$

$$\begin{aligned} T \cdot w_b &= \int \frac{M \cdot M_{II}}{EI} dx = \frac{Fh}{79EI} \left[\frac{2h}{6} \cdot 2h / (2 \cdot 22 - 17) - \frac{18}{2} \cdot h^2 \cdot 2 \right] \\ &= \frac{Fh^3}{79EI} \underbrace{\left[\frac{2}{3} \cdot 27 - 18 \right]}_8 = 0 \end{aligned}$$

M - průběh momentu na reálné kci určený jakoakoliv metodou!

- Pr.**
- 1) SM určete průběh M, Q, N
 - 2) Pomocí redukční řady zkontrolujte $\varphi_a = 0, w_b = 0$.
($EI = 20 \text{ MNm}^2, \alpha = 12 \cdot 10^{-6} \text{ °C}, h = 0,4 \text{ m}$)

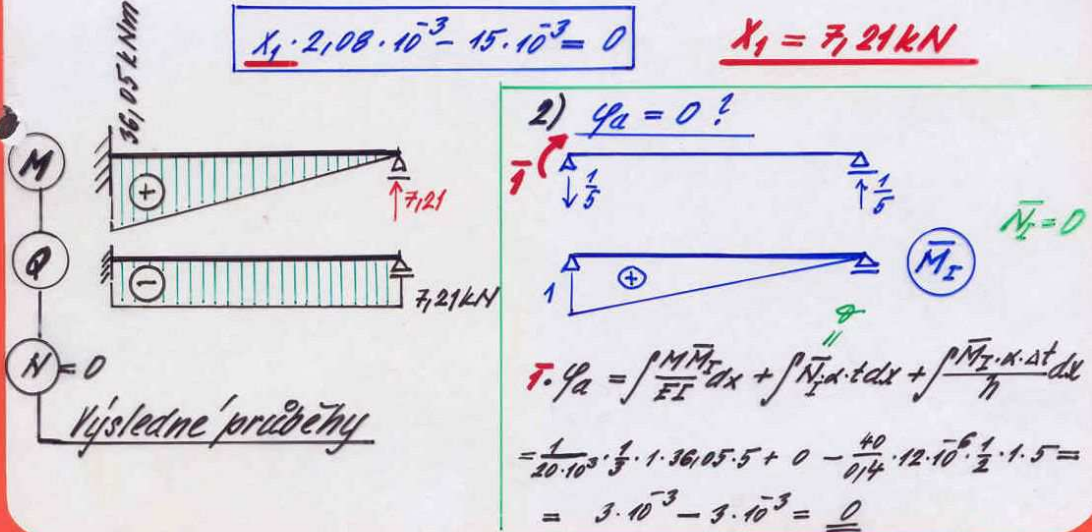


Řešení 1) $x_1 \delta_{11} + \delta_{10} = 0$, $t = \frac{0+40}{2} = +20^\circ$
 $\Delta t = t_d - t_h = 0 - 40^\circ = -40^\circ$

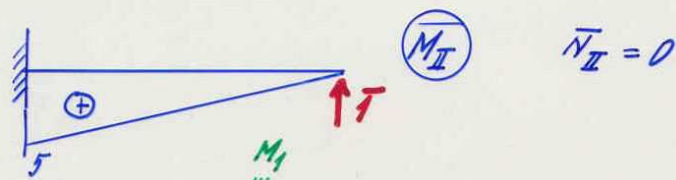
$\delta_{11} = \int \frac{M_1 M_1}{EI} dx = \frac{1}{20 \cdot 10^3} \frac{1}{3} \cdot 5 \cdot 5 \cdot 5 = 2,08 \cdot 10^{-3}$

$\delta_{10} = \int N_1 \cdot dt \cdot dx + \int \frac{M_1 \alpha \Delta t}{h} dx = 0 + \frac{-40}{0,4} \cdot 12 \cdot 10^6 \cdot \frac{1}{2} \cdot 5 \cdot 5 = -15 \cdot 10^{-3}$

$x_1 \cdot 2,08 \cdot 10^{-3} - 15 \cdot 10^{-3} = 0$ $x_1 = 7,21 \text{ kN}$



2) Kontrola $w_b = 0$?

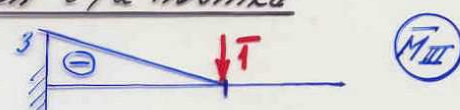
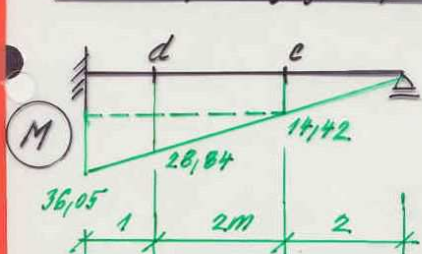


$$\bar{N}_{II} = 0$$

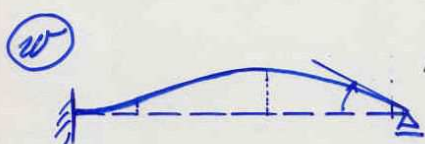
$$\begin{aligned} \bar{T} \cdot w_b &= \int \frac{M \cdot \bar{M}_{II}}{EI} dx + \int \bar{N}_{II} \cdot d \cdot t \cdot dx + \int \frac{\bar{M}_{II} \cdot d \cdot s_t}{h} dx = \\ &= \frac{1}{3} \cdot \frac{36,05 \cdot 5 \cdot 5}{20 \cdot 10^3} + 0 + \frac{12 \cdot 10^6 \cdot (1-40)}{0,14} \cdot \frac{1}{2} \cdot 5 \cdot 5 = \\ &= 15 \cdot 10^{-3} - 15 \cdot 10^{-3} = \underline{\underline{0}} \end{aligned}$$

Pozor: Tří výpočtu přetvoření stat. neurčitých
kež (pomoci redukční věty)
nezapomeňte na uplatnění
"vedlejšího" ulisu.

3) Určete průhyby v průřezech c, d nosníku



$$\begin{aligned} \bar{T} \cdot w_c &= \int \frac{M \cdot \bar{M}_{III}}{EI} dx + \int \frac{\bar{M}_{III} \cdot d \cdot s_t}{h} dx \\ &= -6,489 \cdot 10^{-3} + 5,4 \cdot 10^{-3} = \underline{\underline{-1,089 \cdot 10^{-3} m}} \end{aligned}$$



obdobně vychází:

$$\underline{\underline{w_d = -0,24 \cdot 10^{-3} m}}$$

Příhradové kce rovinné staticky neurčité - řešení silovou metodou

Statická neurčitost : $n = \pi + \rho - 2\beta$

π ... počet prutů

ρ ... počet složek reakcí

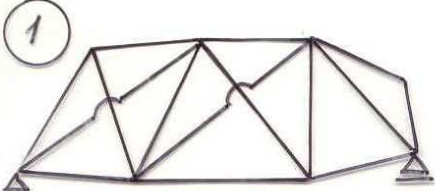
β ... počet stycníků

$n = 0$, det. $\neq 0$... soustava staticky urečitá (tuha)
det. = 0 ... " (vyjimkový případ)

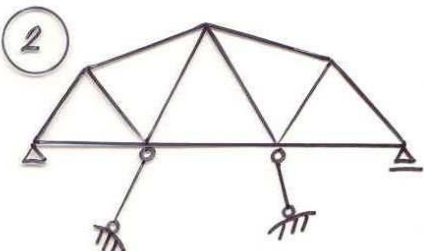
$n > 0$... soustava staticky neurčitá

$n < 0$... soustava staticky přeurečitá (pohyblivá)

Příklady statické neurčitosti kce :

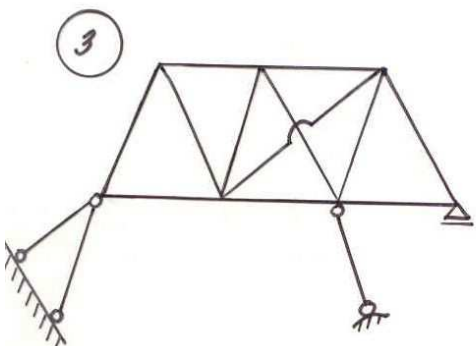


$$n = 15 + 3 - 2 \cdot 8 = 2$$



$$n = 11 + (2 + 3 \cdot 1) - 2 \cdot 7 = 2$$

vnější statická neurčitost



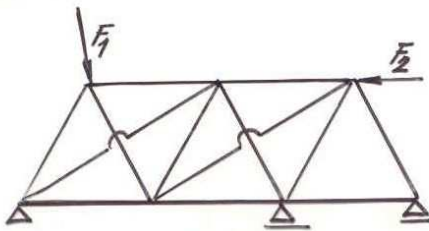
$$n = 12 + 4 - 2 \cdot 7 = 2$$

statická neurčitost kombinovaná
(vnější i vnitřní)

Statická neurčitost nezáleží na zatížení kce!

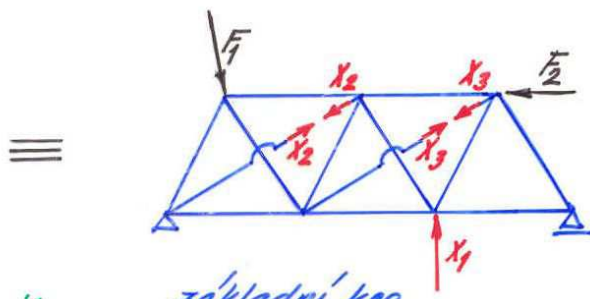
Při řešení kce nezáleží na druhu statické neurčitosti!

Pr. Určete osové síly v prutech zadané kce!



dáná kce

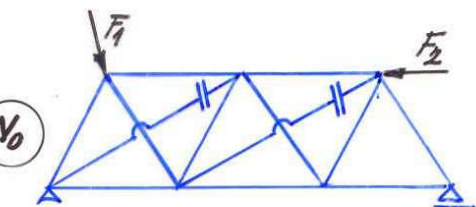
$$n = 13 + 4 - 7 \cdot 2 = 3 \times \text{stat. neurč.}$$



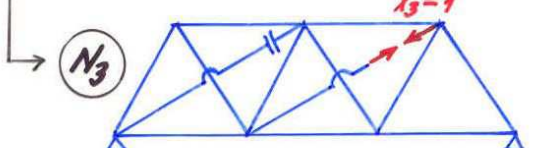
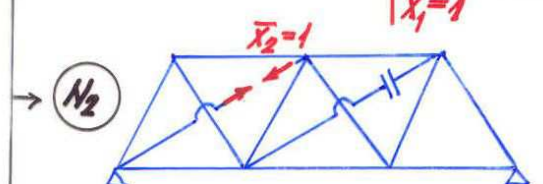
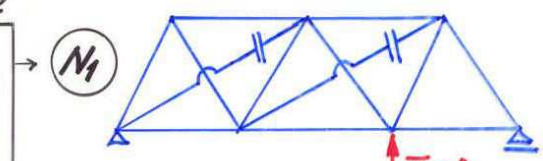
základní kce

• jednotlivé zatežovací stavy

základní



jednotkové



Výsledné N v prutu (1):

$$N = N_0 + N_1 x_1 + N_2 x_2 + N_3 x_3$$

neznáme

Podmínečné rov. (2):

$$x_1 \delta_{11} + x_2 \delta_{12} + x_3 \delta_{13} + \delta_{10} = 0 \dots \text{svíšší posun v místě } x_1 \text{ je nula}$$

$$x_1 \delta_{21} + \dots + \delta_{20} = 0 \dots \text{změna vzdálen. v řezu } "x_2" \text{ je nutová}$$

$$x_1 \delta_{31} + \dots + \delta_{30} = 0 \dots \text{změna vzdálen. v řezu } "x_3" \text{ je nutová}$$

význam podm.r.

Koeficienty staticky neurčitá

$$(1) \quad N = \sum_{i=1}^n N_i x_i + N_0 \quad \dots \text{výsledná osová síla v prutu}$$

Soustava podmínečných rovnic stejná jako (2)!

Podmínečné koeficienty (vzhledem ke konst. N po délce prutu)

$$\tilde{\sigma}_{ij} = \sum_{\text{pruty}} N_i N_j \frac{l}{EA} = \tilde{\sigma}_{ji} \quad (3')$$

$$\bullet \quad \tilde{\sigma}_{i0} = \sum_{\text{pruty}} \left(N_i N_0 \frac{l}{EA} + \underbrace{N_i \text{ctf}}_{\substack{\text{vliv rovnoram.} \\ \text{oteplem}}} \right) - \sum_{\text{podpory}} \tilde{w} R_{F_i}$$

(kde je předepsán posun \tilde{w})

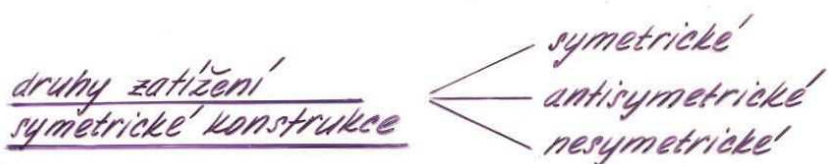
$N_i, N_j \dots$ osové síly na z.s. při i-tém jedn. stavu / j-tém jedn. stavu
 $N_0 \dots$ -" -" -" zatížené silovým namáháním

$R_{F_i} \dots$ silové reakce při i-tém jednotk. stavu v místě \tilde{w}

$l \dots$ délka prutu

Souměrné konstrukce - zatížení symetrické zatížení antisymetrické

pracnost výpočtu lze podstatně snížit, je-li konstrukce symetrická (t.j. nejen symetrická střednice celé konstrukce, ale také symetrické podepření a všechny geometrické a fyzikální veličiny, např. A, I, E, G, ν ...)

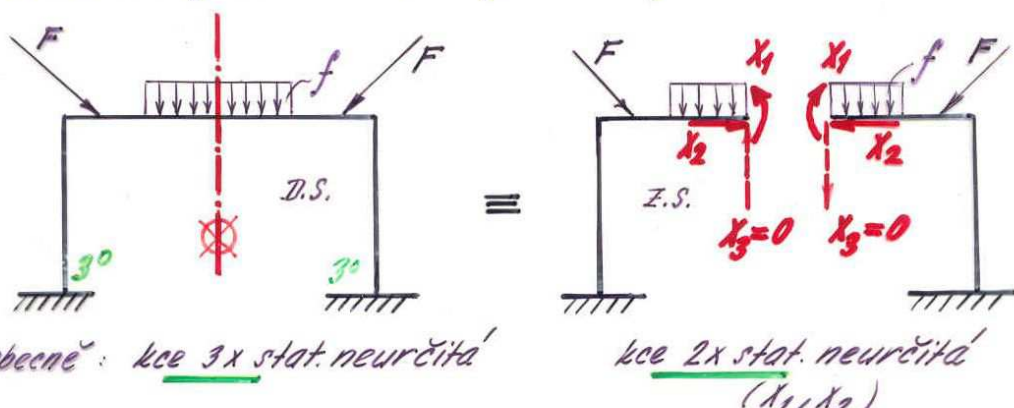


a) Zatížení symetrické

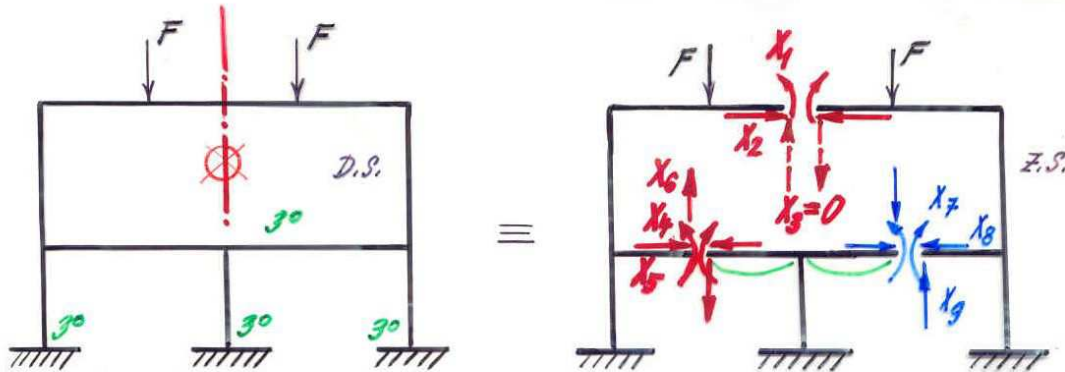
Symetrická konstrukce symetricky zatížená má vzhledem k ose symetrie: symetrické průběhy: ohyb. momentů M , normál. sil N (deformace)

antisymetrický průběh: posouvajících sil Q

⇒ na ose symetrie: $Q = 0$; $M \neq 0$; $N \neq 0$



Základní soustavu volíme obyčejně symetrickou
⇒ snížíme počet stat. neurčitých veličin,
stačí obyčejně počítat 1/2 konstrukce



kde 9x staticky neurčitá'

$$x_3 = 0$$

$$x_4 = x_7; x_5 = x_8; x_6 = x_9$$

kde 5x staticky neurčitá'

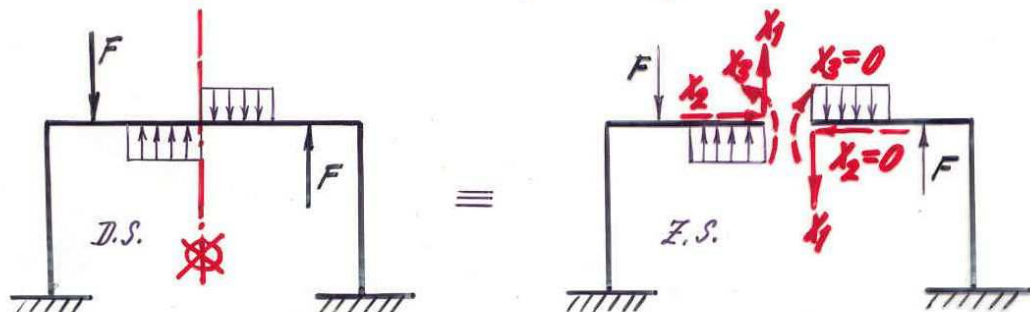
b) Zatížení antisymetrické'

Na symetrické konstrukci jsou vzhledem k ose symetrie
průběhy: ohyb. momentů M
normál. sil N
(deformace)

} antisymetrické'

posouvajících sil Q ... symetrické'

⇒ na ose symetrie: $M=0, N=0, Q \neq 0$

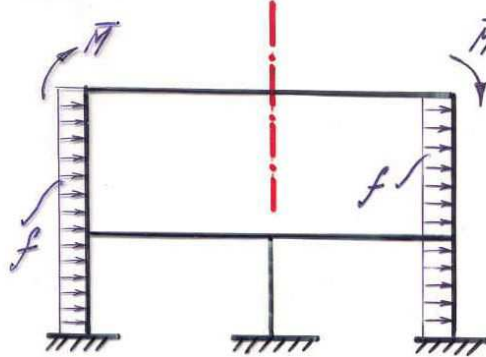


obecně: kde 3x stat. neurčitá'

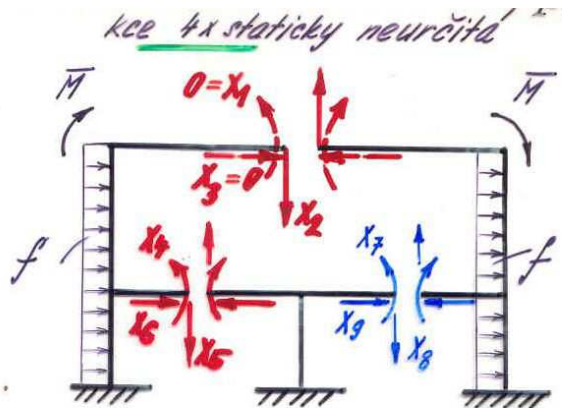
$$x_3 = 0, x_2 = 0$$

⇒ kde 1x stat. neurčitá'(x1)

Z.S. volíme obyčejně symetrickou, stat. neurč. veličiny
jako antisymetrické' ⇒ vyvodi' antisym. stav namáhání'
konstrukce

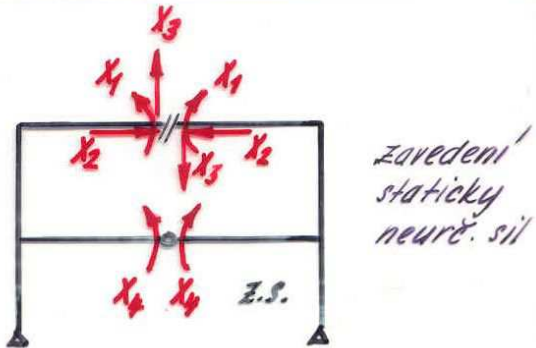
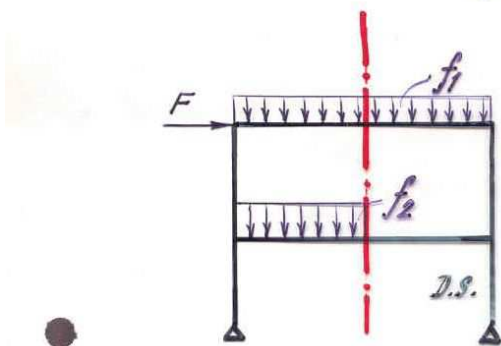


kce $4x$ stat. neuročítá'

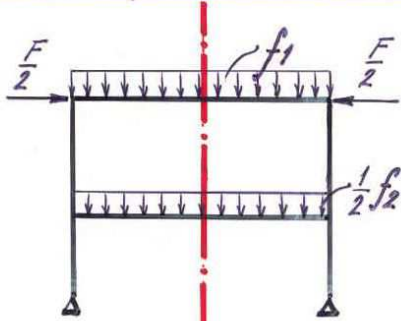


$$x_1 = x_3 = 0, \\ x_4 = -x_7, \quad x_5 = x_8, \quad x_6 = -x_9$$

c) zatížení nesymetrické na souměrné konstrukci
se dá rozdělit na zatížení
symetrické a antisymetrické
výsledné namáhání = součet obou stáv

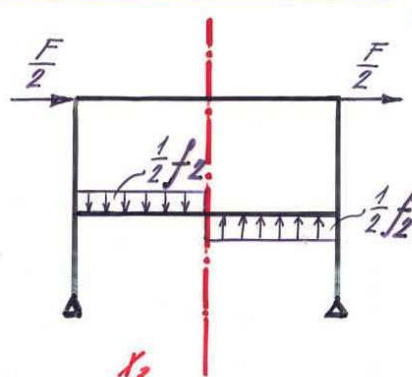


zatížení symetrické + zatížení antisymetrické = dané zatíž.



zustava: x_1, x_2, x_4

$$x_3 = 0$$

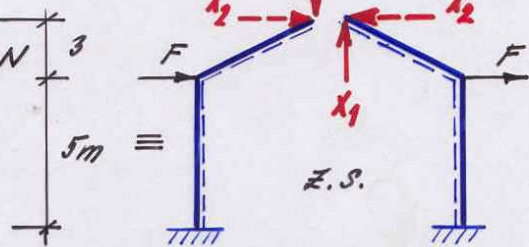
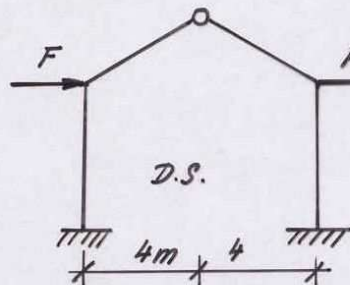


$$x_3$$

$$x_1 = x_2 = x_4 = 0$$

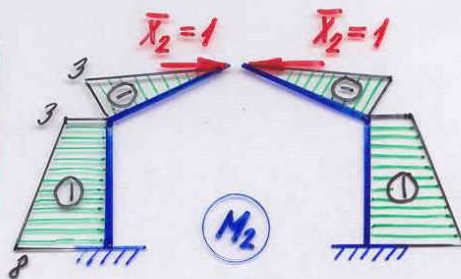
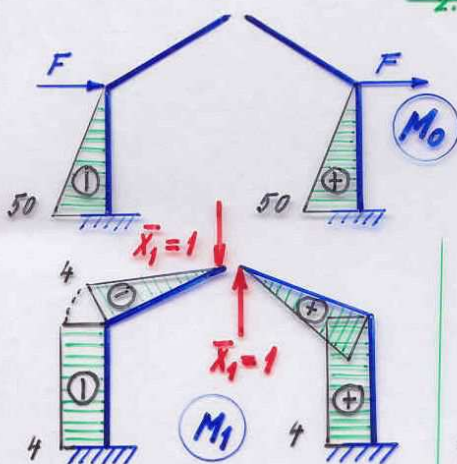
Př.

SM určete průběhy M_1, N, Q (s využitím symetrie
kce, antisymetrie zatížení)



$$1. \bar{x}_1 \delta_{11} + \bar{x}_2 \delta_{12} + \delta_{10} = 0$$

$$2. \bar{x}_1 \delta_{21} + \bar{x}_2 \delta_{22} + \delta_{20} = 0$$



$$\delta_{10} = \frac{2}{EI} \left[\frac{1}{2} 5 \cdot 50 \cdot 4 \right] = \frac{2}{EI} 500$$

$$\delta_{11} = \frac{2}{EI} \left[\frac{1}{3} 5 \cdot 4 \cdot 4 + 5 \cdot 4 \cdot 4 \right] = \frac{2}{EI} 106,67$$

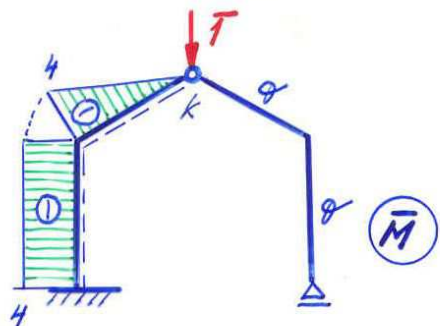
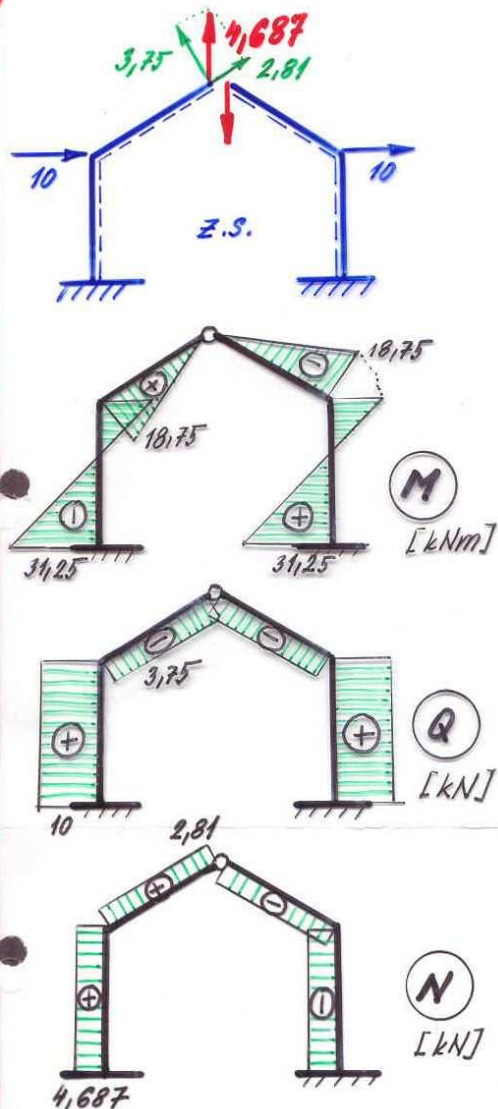
$$\delta_{12} = 0$$

$$\delta_{22} \neq 0$$

$$\delta_{20} = 0$$

$$2. \bar{x}_1 \cdot 0 + \bar{x}_2 \delta_{22} + 0 = 0 \Rightarrow \underline{\underline{x}_2 = 0}$$

$$1. \bar{x}_1 \delta_{11} + \delta_{10} = 0 \Rightarrow \boxed{\bar{x}_1 = -4,687 \text{ kN}}$$



Zkontrolujte nulovou hodnotu průhybu na ose symetrie kce ($w_k = 0$).

$$\bar{I} \cdot w_k = \int \frac{M \bar{M}}{EI} ds =$$

$$= \left[-\frac{1}{3} \cdot 5 \cdot 4 \cdot 18,75 + (-5 \cdot 4) \cdot (-6,25) \right] \frac{1}{EI}$$

$$= [-125 + 125] \frac{1}{EI} = 0$$

Výsledné průběhy

M, N - antisymetrické průběhy
 Q - symetrický průběh

\Rightarrow stačilo počítat $1/2$ kce, na 2. část dokreslit!

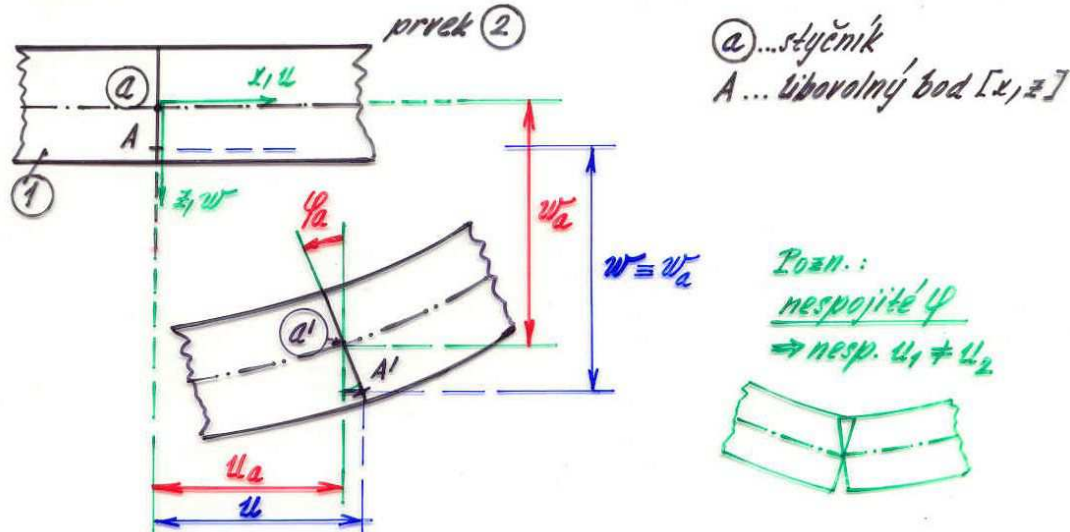
DEFORMAČNÍ METODA

Podstata DM:

Základní předpoklad	Pole posunutí $u, w \dots$ spojité
řídící princip	Lagrangeův
<u>Neznámé</u>	<u>Styčníkové posuny a pootočení</u>
<u>Podmínečné rovnice</u>	<u>Podmínky rovnováhy momentů a sil</u>

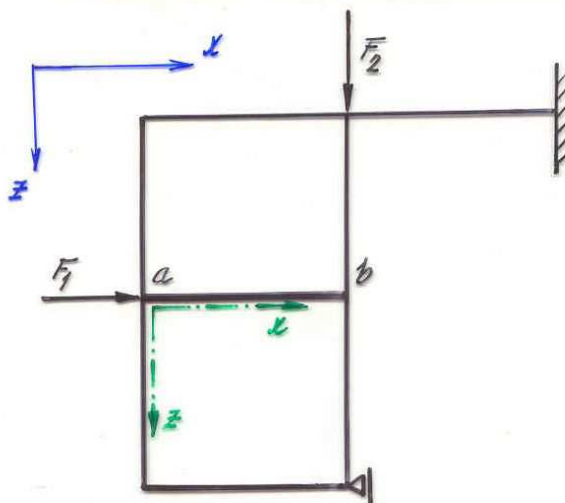
Přednost DM = snadná algoritmizovatelnost,
 \Rightarrow vhodné maticové zpracování rovnic DM

1. Spojitost pole posunutí, základní neznámé



Z předp. PRPE o zachování rovinnosti průřezu po deformaci (B.-N.)
 \Rightarrow posuny u, w budou spojité v lib. bodě kce, pokud na styku drou prvků budou stejné posuny u_a, w_a a pootočení q_a
 $\Rightarrow u_a, w_a, q_a \dots$ základní neznámé v DM.

Statically neurčitá konstrukce (tvarově „přeurečitá“)



$x, z \dots$ globální osy
 $x, z \dots$ lokální osy (pro prut a b)

SM: $7x$ stat. neurčité

ODM (obecná DM):

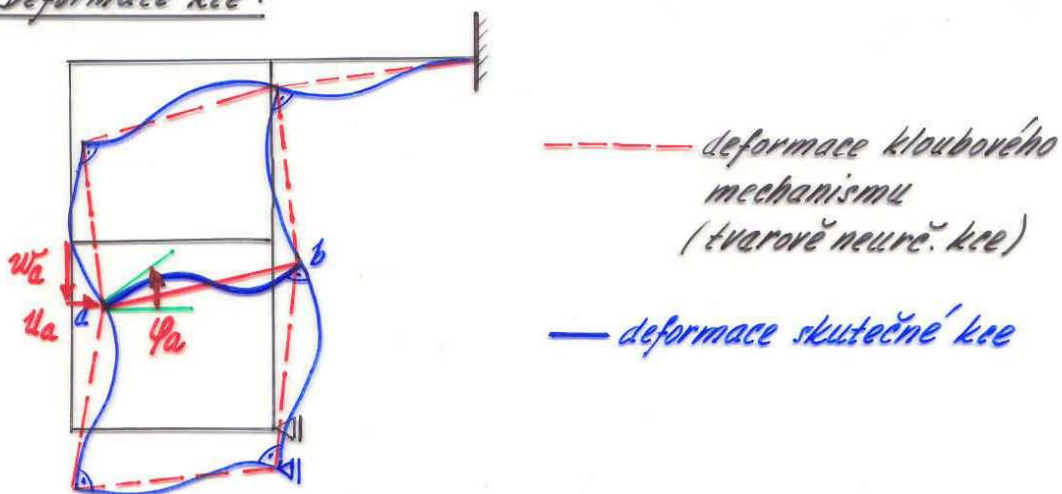
6 pootočení

6 posunů w

5 posunů u

17 deformačních neznámých

Deformace kce:

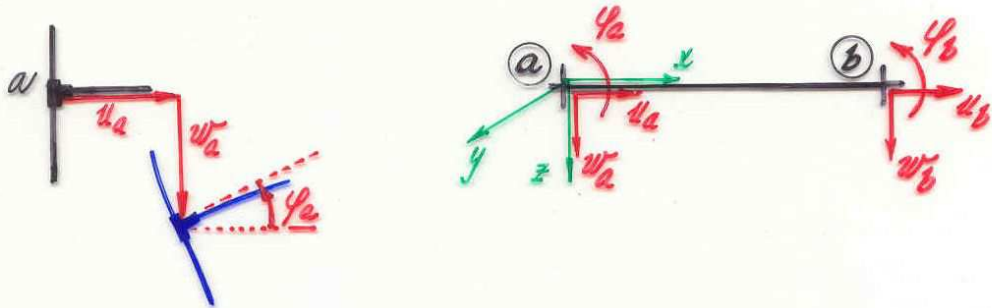


— deformace klobového mechanismu
(tvarově neurč. kce)

— deformace skutečné kce

V dalším: budeme se zabývat prutem a-b (tuhé styčenky)
typ V-V

2. Konvence v DM



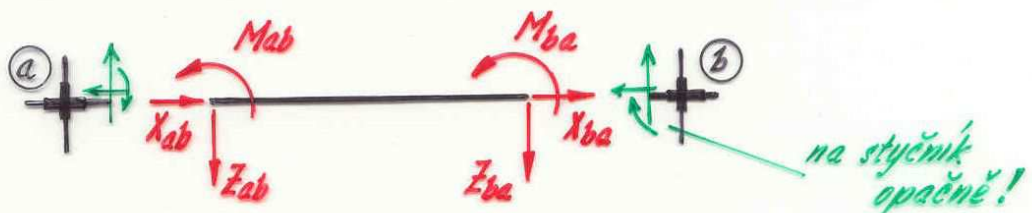
Kladné uzlové „posuny“

Kladné posuny $u_a, w_a, u_b, w_b \dots$ směr kladných os x, z

Kladná pootočení $q_a, q_b \dots$ pravidlo pravé ruky

Vektor uzlových posunů:

$$\{r_{ab}\} = \{u_a, w_a, q_a, u_b, w_b, q_b\}^T \quad (4)$$



Kladné koncové „síly“ na prutu !

Kladné konc. síly v konc. průřezech prutu $X_{ab}, Z_{ab}, X_{ba}, Z_{ba}$

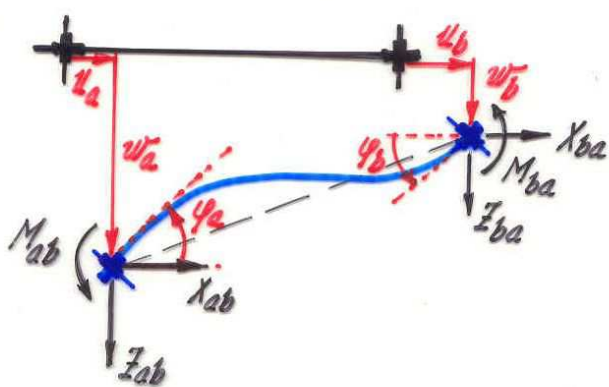
... směr kladných posunutí (n. polos x, z)

Kladné konc. momenty ... směr klad. pootočení (prav. pravé ruky)

Vektor koncových sil:

$$\{R_{ab}\} = \{X_{ab}, Z_{ab}, M_{ab}, X_{ba}, Z_{ba}, M_{ba}\}^T \quad (5)$$

3. Vztah mezi koncovými silami $\{R_{ab}\}$ a složkami posunu $\{r_{ab}\}$



Proč?
neznané: „posuny“
x rovnice: podm. rov.
(„síleček“)

Přetvoření prutu způsobeno:

a) vlastním zatížením prutu (silové zatíž., změny teploty,...)
 $\Rightarrow \{\bar{R}_{ab}\}$ (momenty \bar{M}_{ab} , \bar{M}_{ba} v tab. 2)

b) účinkem působení sousedních prvků pomocí uzlových posunů $\{r_{ab}\}$ ← skutečnou velikost zatížení neznáme

\Rightarrow Užijeme: princip superpozice a proporcionality pro vyjádření výsledných koncových sil

$$(6) \quad \{R_{ab}\} = \{\bar{R}_{ab}\} + [K_{ab}]\{r_{ab}\}$$

[K_{ab}] ... matice tuhosti prutu (MT)

Kýznamo pruku MT

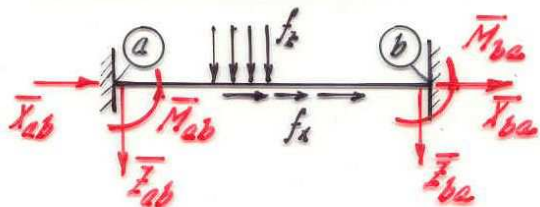
Součas MT vyjadřuje „sily“ způsobené jednotkovým koncovým „posunem“, t.z. jednotkovým deformačním přičinkem.

$$\begin{matrix} 1 & 2 & 3 & 4 & 5 & 6 \\ 1 & \cdot & k_{13} & \cdot & \cdot & \cdot & \cdot \\ 2 & \cdot & \cdot & k_{23} & \cdot & \cdot & \cdot \\ 3 & \cdot & \cdot & k_{33} & \cdot & \cdot & \cdot \\ 4 & \cdot & \cdot & k_{43} & \cdot & \cdot & \cdot \\ 5 & \cdot & \cdot & k_{53} & \cdot & \cdot & \cdot \\ 6 & \cdot & \cdot & k_{63} & \cdot & \cdot & \cdot \end{matrix} \left\{ \begin{array}{l} u_a \\ w_a \\ g_a \\ u_b \\ w_b \\ g_b \end{array} \right\}$$

$$\{R_{ab}\} \quad g_a = 1; \quad u_a = 0 \\ w_a = 0 \\ u_b = 0 \\ w_b = 0 \\ \dots = 0$$

Přímý prut konst. průřezu, typ r-v

3.1. Koncové síly od vlastního zatížení prutu $\{\bar{R}_{ab}\}$
v dokonalem rezenutí ($\{\bar{r}_{ab}\} = \{0\}$)



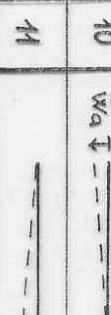
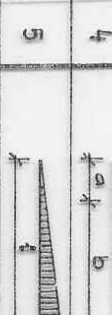
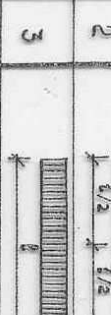
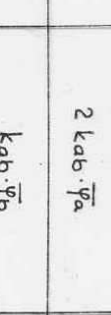
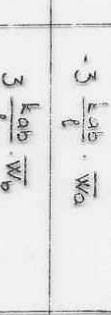
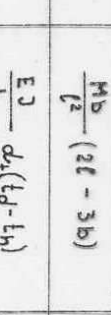
$$\{\bar{R}_{ab}\} = \{\bar{X}_{ab}, \bar{Z}_{ab}, \underline{\bar{M}_{ab}}, \bar{X}_{ba}, \bar{Z}_{ba}, \underline{\bar{M}_{ba}}\}^T \quad (7)$$

konceové síly od zatížení
v konec. průřezech prutu ← určí se SM
(z.s. = prostý n.)

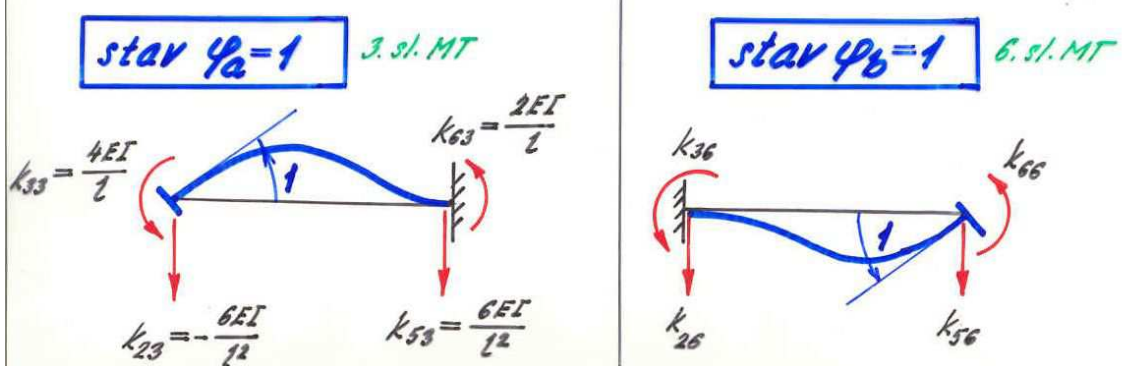
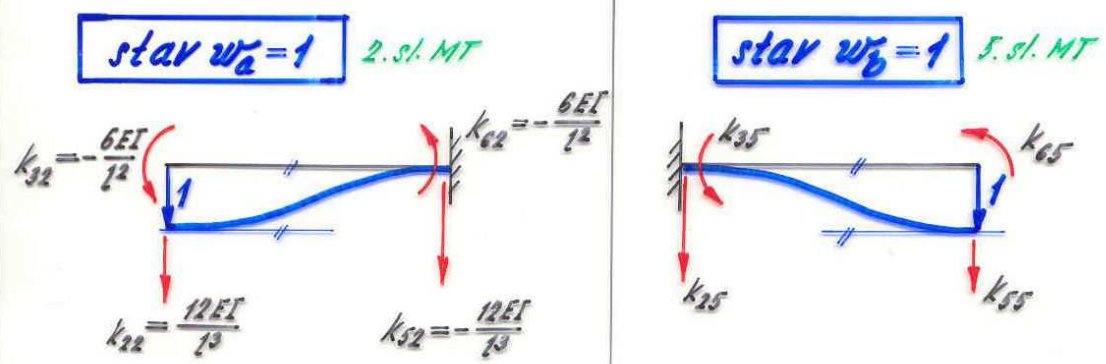
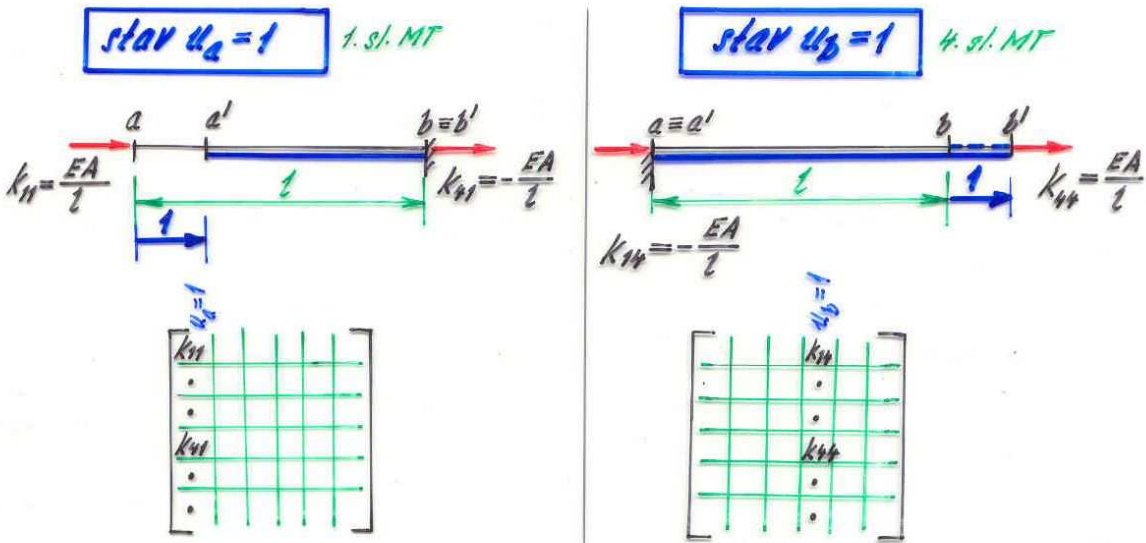
$\bar{M}_{ab}, \bar{M}_{ba} \dots$ tabulovány (TAB. 2) pro různá sil. zatížení
i pro reál. vlivy
 $\times \bar{X}_{ab}, \bar{Z}_{ab} \dots$ dopočítáváme z podm. rovnováhy na prutu,
příp. z přetvar. podmínek

Příklad

TABULKÁ 2

ZATÍŽENÍ	1	2	3	4
	$\frac{F_{ab}b}{l^2}$	$-\frac{F_{ab}}{l^2}$	$\frac{F_{ab}(b+l)}{2l^2}$	$-\frac{F_{ab}}{2l^2}(a+l)$
	$\frac{Ff}{8}$	$-\frac{Ff}{8}$	$\frac{3}{16} Fl$	$-\frac{3}{16} Fl$
	$-\frac{f l^2}{12}$	$-\frac{f l^2}{12}$	$\frac{f l^2}{8}$	$-\frac{f l^2}{8}$
	$-\frac{f(a^2 + 6b^2 + 3ab + al)}{12l^2}$	$-\frac{f(a^2 + 3b + l)}{12l^2}$	$-\frac{f(a^2 + 4bl)}{8l^2}$	$-\frac{f(a^2 + 2l^2 - a^2)}{8l^2}$
	$-\frac{f l^2}{30}$	$-\frac{f l^2}{20}$	$-\frac{7}{420} fl^2$	$-\frac{1}{15} fl^2$
	$-\frac{5}{96} fl^2$	$-\frac{5}{96} fl^2$	$-\frac{5}{64} fl^2$	$-\frac{5}{64} fl^2$
	$-\frac{f(l-a)}{12l}(a^2 + ab + l^2)$	$-\frac{f(l-a)}{12l}(a^2 + ab + l^2)$	$-\frac{f(l-a)}{8l}(a^2 + ab + l^2)$	$-\frac{f(l-a)}{8l}(a^2 + ab + l^2)$
	$-\frac{M_a}{l^2}(2l - 3a)$	$-\frac{M_a}{l^2}(2l - 3a)$	$-\frac{M}{2l^2}(l^2 - 3a^2)$	$-\frac{M}{2l^2}(l^2 - 3a^2)$
	$-\frac{EJ}{h} d_t(t_d - t_h)$	$-\frac{EJ}{h} d_t(t_d - t_h)$	$\frac{3}{2} \cdot \frac{EJ}{h} d_t(t_d - t_h)$	$-\frac{3}{2} \cdot \frac{EJ}{h} d_t(t_d - t_h)$
	$-3 \frac{k_{ab}}{l} \cdot \overline{w_a}$	$-3 \frac{k_{ab}}{l} \cdot \overline{w_a}$	$-2 \frac{k_{ab}}{l} \cdot \overline{w_a}$	$-2 \frac{k_{ab}}{l} \cdot \overline{w_a}$
	$3 \frac{k_{ab}}{l} \cdot \overline{w_b}$	$3 \frac{k_{ab}}{l} \cdot \overline{w_b}$	$2 \frac{k_{ab}}{l} \cdot \overline{w_b}$	$2 \frac{k_{ab}}{l} \cdot \overline{w_b}$
	$2 k_{ab} \cdot \overline{q_a}$	$k_{ab} \cdot \overline{q_a}$	$2 k_{ab} \cdot \overline{q_a}$	$2 k_{ab} \cdot \overline{q_a}$
	$k_{ab} \cdot \overline{q_b}$	$2 k_{ab} \cdot \overline{q_b}$	$—$	$2 k_{ab} \cdot \overline{q_b}$
	$k_{ab} = \frac{2EJ}{l} \cdot c$		$k_{ab} = \frac{3}{4} \cdot \frac{2EJ}{l} \cdot c = k_{kb}$	

3.2. Koncové sily od jednotkových deformačních příčinků (prvky MT)



3.3. Základní vztah DM pro prizmatický prut a-b

$$\begin{array}{l}
 \begin{array}{c}
 \text{1. } \left\{ \begin{array}{c} X_{ab} \\ Z_{ab} \\ M_{ab} \end{array} \right\} = \left\{ \begin{array}{c} \bar{X}_{ab} \\ \bar{Z}_{ab} \\ \bar{M}_{ab} \end{array} \right\} + \\
 \text{2. } \left\{ \begin{array}{c} X_{ba} \\ Z_{ba} \\ M_{ba} \end{array} \right\} = \left\{ \begin{array}{c} \bar{X}_{ba} \\ \bar{Z}_{ba} \\ \bar{M}_{ba} \end{array} \right\} +
 \end{array} \\
 \begin{array}{c}
 \frac{EA}{l} = 1 \quad \frac{l}{2EI} = 1 \quad \frac{l}{2EI} = 1 \quad \frac{l}{EI} = 1 \quad \frac{l}{2EI} = 1 \quad \frac{l}{2EI} = 1 \\
 u_a \quad w_a \quad y_a \quad u_b \quad w_b \quad y_b
 \end{array} \\
 \begin{array}{c|ccccc|c}
 \frac{EA}{l} & 0 & 0 & -\frac{EA}{l} & 0 & 0 & u_a \\
 0 & \frac{12EI}{l^3} & \frac{-6EI}{l^2} & 0 & \frac{-12EI}{l^3} & \frac{-6EI}{l^2} & w_a \\
 0 & \frac{-6EI}{l^2} & \frac{4EI}{l} & 0 & \frac{6EI}{l^2} & \frac{2EI}{l} & y_a \\
 -\frac{EA}{l} & 0 & 0 & \frac{EA}{l} & 0 & 0 & u_b \\
 0 & \frac{-12EI}{l^3} & \frac{6EI}{l^2} & 0 & \frac{12EI}{l^3} & \frac{6EI}{l^2} & w_b \\
 0 & \frac{-6EI}{l^2} & \frac{2EI}{l} & 0 & \frac{6EI}{l^2} & \frac{4EI}{l} & y_b
 \end{array} \\
 \end{array} \quad (6'')$$

$$\{R_{ab}\} = \{\bar{R}_{ab}\} + [K_{ab}]\{r_{ab}\} \quad (6)$$

symetrické

$$n_{ab} = n = \frac{EA}{l} \dots \underline{\text{tuhost prutu v tahu}} \quad (7)$$

$$k_{ab} = k = \frac{2EI}{l} \dots \underline{\text{tuhost prutu v ohybu}} \ (\equiv \text{ohybová tuhost prutu})$$

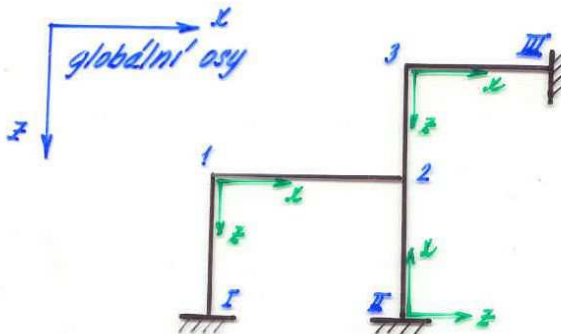
Zápis koncových sil ve skalárním tvaru:

$$\begin{aligned}
 X_{ab} &= \bar{X}_{ab} - n(u_b - u_a) \\
 Z_{ab} &= \bar{Z}_{ab} - \frac{k}{l}(3y_a + 3y_b + 6\frac{w_b - w_a}{l}) \\
 M_{ab} &= \bar{M}_{ab} + k(2y_a + y_b + 3\frac{w_b - w_a}{l})
 \end{aligned} \quad (6'')$$

$$\begin{aligned}
 X_{ba} &= \bar{X}_{ba} + n(u_b - u_a) \\
 Z_{ba} &= \bar{Z}_{ba} + \frac{k}{l}(3y_a + 3y_b + 6\frac{w_b - w_a}{l}) \\
 M_{ba} &= \bar{M}_{ba} + k(2y_b + y_a + 3\frac{w_b - w_a}{l})
 \end{aligned} \quad (6'')$$

4. Umístění prutu v konstrukci:

Transformace z lokálních do globálních os.



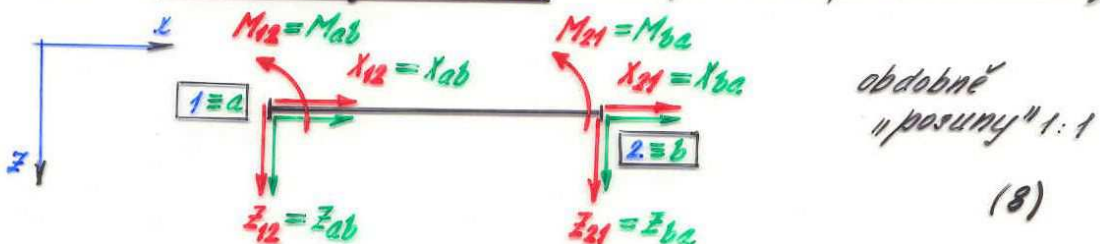
dosud:
prut vyjmutý z kce ($a-b$)



x kei jako celek nutno řešit
v jediné globální soustavě os
(⇒ silové i deformační
veličiny do ní musíme
transformovat)

*Neznámé i podm. rovnováhy
→ v globál. osách!*

Prut 1-2 rovnoběžný s osou x (vztah je $1:1 \Leftarrow$ podm. ekvivalence)



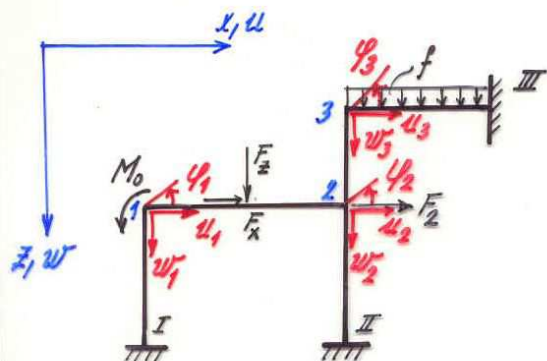
Prut II-2 rovnoběžný s osou z (9)

obdobně „posuny“

$$\begin{matrix} X_{ba} \\ Z_{2II} \\ M_{2II} \\ X_{ab} \\ Z_{I2} \\ M_{I2} \end{matrix} = \begin{matrix} Z_{ab} \\ -X_{ab} \\ M_{ab} \\ Z_{ba} \\ -X_{ba} \\ M_{ba} \end{matrix}; \quad \begin{matrix} u_{II} \\ w_{II} \\ \varphi_{II} \\ u_2 \\ w_2 \\ \varphi_2 \end{matrix} = \begin{matrix} w_a \\ -u_a \\ \varphi_a \\ w_b \\ -u_b \\ \varphi_b \end{matrix}$$

5. Podmínky rovnováhy sil a momentů ve styčnících.

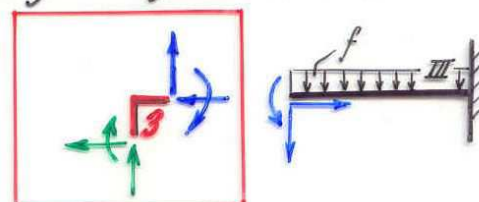
(soustava rovnic pro neznámé styčníkové posuny a pootočení)



Neznámé = 9 (v globálních osách)

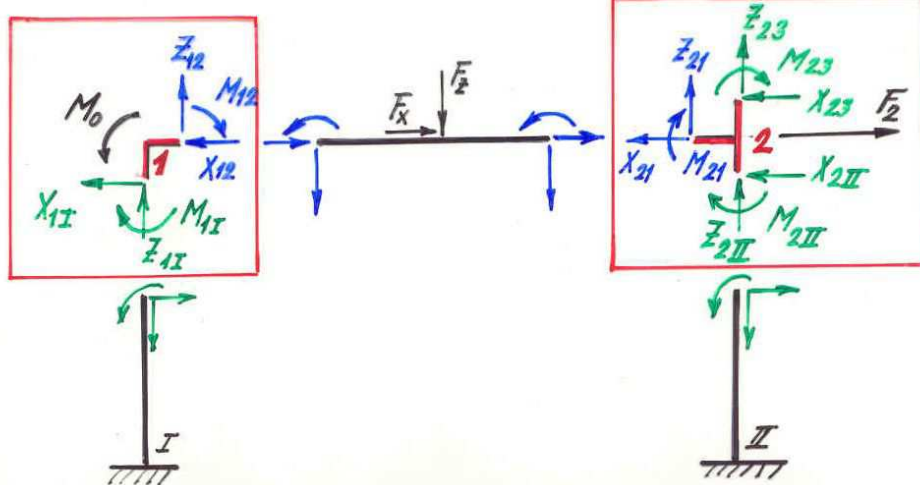
- 1 u_1, w_1, y_1
- 2 $u_2, w_2, y_2 \Rightarrow$ potřebujeme 9 podm. rovn.
- 3 u_3, w_3, y_3

Soustavu rozdělíme na pruty a styčníky (princip akce a reakce)
a zapíšeme po třech podm. rovnováhy ve styčnících 1, 2, 3.
(konec. síly v globálních osách!)



— konec. síly z vodorovných prutů

— konec. síly ze svislých prutů



Podmínky rovnováhy styčníku:Styčník 1 : Γ

Rovnici zapisujeme krátky závedením neznámé:

1. $\leftarrow : X_{12} + X_{1\Gamma} = 0 \dots \dots \dots u_1$
 2. $\uparrow : Z_{12} + Z_{1\Gamma} = 0 \dots \dots \dots w_1$
 3. $\curvearrowright : M_{12} + M_{1\Gamma} = M_0 \dots \dots \dots g_1$
-

Styčník 2 : Γ

4. $\leftarrow : X_{21} + X_{2\Gamma} + X_{23} = F_2 \dots \dots \dots u_2$
 5. $\uparrow : Z_{21} + Z_{2\Gamma} + Z_{23} = 0 \dots \dots \dots w_2$
 6. $\curvearrowright : M_{21} + M_{2\Gamma} + M_{23} = 0 \dots \dots \dots g_2$
-

7. Obdobně 3 ror. pro styčník 3

8.
9.
-

Obecně pro každý i-tý styčník:
 $(i=1, \dots, n)$

$$\begin{aligned} \leftarrow : \sum_d X_{id} &= \bar{F}_{xi} \\ \uparrow : \sum_d Z_{id} &= \bar{F}_{zi} \\ \curvearrowright : \sum_d M_{id} &= \bar{M}_i \end{aligned}$$

Obecná DM (ODM) (10)

když: $d \dots$ počet prutů jdoucích do i-teho styčníku
 $\bar{F}_{xi}, \bar{F}_{zi}, \bar{M}_i \dots$ známé zatížení působící přímo v i (např. F_2, M_0)

Poznámka: Zadané zatíž. na prutech (např. F_1, F_2, f)
 působí na styčníky nepřímo prostřednictvím X_{id}, Z_{id}, M_{id}
 $(\bar{X}_{id}, \bar{Z}_{id}, \bar{M}_{id})$

Dosazením za konec „sily“ z ror. (6"), (8,9) do systému podm. rovn. (10) obdržíme soustavu algebr. ror. pro neznámé deformace u_i, w_i, ϑ_i ($i=1, 2, \dots, n$).

6. Zjednodušená DM (ZDM) (vhodná při „ručních“ výpočtech)

→ zjednodušení výpočtu zanedbáním deformačního účinku osových sil (předp. EA → 0 na růzech prutech)

$$\begin{array}{l} \Delta u = u_b - u_a = 0 \quad (\Rightarrow u_b = u_a) \\ \text{Diagram: } \begin{array}{c} a \xrightarrow{F_x} b \\ u_a \quad u_b \end{array} \end{array}$$

$$\Rightarrow \chi_{ab} = \bar{\chi}_{ab} \quad \text{rov. 1. z (6'')}$$

$$\chi_{ba} = \bar{\chi}_{ba} \quad \text{rov. 4. z (6'')}$$

Důsledek:

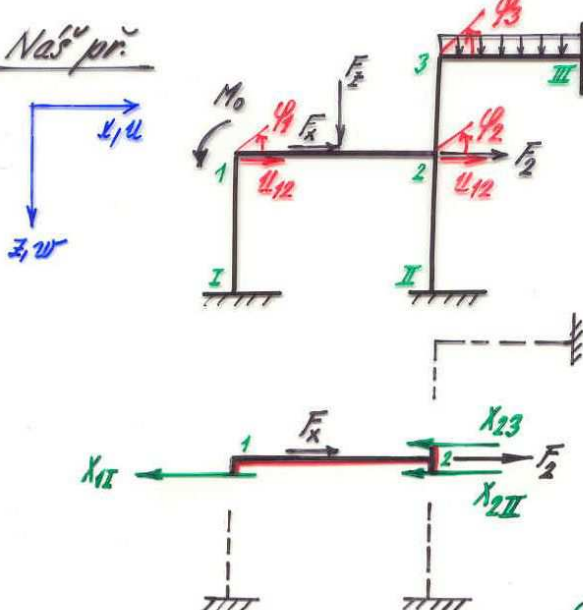
- snížení počtu neznámých (\Rightarrow redukce počtu rovníc)
zůstávají jako v ODM: pootočení styčníku

\Rightarrow momentové podm. rovn. styčníku

nově: posuny celých patr, příp. sloupů (nepodepřených)
 \Rightarrow patrové, příp. sloupové rovnice

(= podmínky rovn. sil působících na patro či sloupu, který se může posunout)

Nás" pr.



neznámé : 4

u_1, u_2, u_3
 $u_1 = u_2 = u_{12} \dots$ posun patra
 $(u_3 = w_1 = w_2 = w_3 = 0) \leftarrow$

moment. podm. 3, 6, 9.
nezměněny

$$\chi_{1I} + \chi_{2II} + \chi_{23} = F_x + F_2$$

patrová rov.

(vezmíme sečtením rov. 1., 4. z ODM)

Pozn.: rov. 2., 5., 7., 8. z ODM
 odpadají

6.1. Záředení redukovaných reličin (můžeme i nemusíme používat)

Ve vz. (6'') se vyskytuje tuhosti prutu

$$\text{např. 3. rov.: } M_{ab} = \bar{M}_{ab} + k_{ab} (2\varphi_a + \varphi_b + 3 \frac{w_b - w_a}{l})$$

uzlové „posuny“ ($\varphi_a, \varphi_b, w_a, w_b$) ... velmi malé
x tuhosti ($k_{ab} = \frac{2EI}{l}$) veliká

\Rightarrow násobení typu $\mathcal{O} \cdot \mathcal{O}$

\Rightarrow modifikace

$$k'_{ab} = k_{ab} \cdot c = \frac{2EI}{l} \cdot c \quad \text{redukovaná tuhost}$$

$$\varphi'_a = \frac{\varphi_a}{c}, \quad \varphi'_b = \frac{\varphi_b}{c}, \quad w'_a = \frac{w_a}{c}, \quad \dots \quad \text{redukované přetvoření}$$

c ... zvolená konstanta

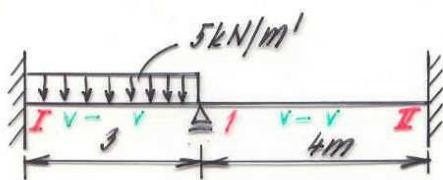
Např.:

$$k_{ab} \varphi_b = \cancel{k_{ab}} \cancel{\varphi_b \cdot \frac{c}{c}} = \underline{k'_{ab} \cdot \varphi'_b}$$

6.2. Postup při výpočtu DM

1. stanovíme přetvařnou neurčitost kee (složky „posunutí“)
(odpovídá typům prutů)
2. podmínky rovnováhy (symbolicky)
3. vypočteme tuhosti prutů (dle jejich typů)
4. podm. rovn. zapíšeme ve složkách „posunutí“ (pozor na $\{\bar{R}_{ab}\}$)
5. řešením rovnic \Rightarrow neznámé „posuny“
6. číselně stanovíme „koncové sily“ na prutech
7. vypočteme a vykreslíme po jednotl. prutech $M, Q, N!$
8. Kontrola: výsledné řešení musí splňovat:
 - podmínky rovnováhy (stycenku, části kee, celku ...)
 - přetvařné podmínky.

Pr. ZDM určete průběh M , Q . ($EI = \text{konst.}$)



$$M_{1I} \xrightarrow{\Delta} M_{1II}$$

$$M_{1I} + M_{1II} = 0$$

Řešení:

1 deformační neznámá φ_I

Redukované tuhosti:

$$k_{1I} = \frac{2EI}{L_{1I}} \cdot c = \underline{\underline{1}}$$

$$k_{1II} = \frac{2EI}{L_{1II}} \cdot c = \frac{2EI}{4} \cdot \frac{3}{2EI} = \underline{\underline{\frac{3}{4}}}$$

$$M_{1I} = \bar{M}_{1I} + k_{1I}(2\varphi_I + 0 + 0) = -\frac{1}{12} \cdot 5 \cdot 3^2 + 1 \cdot 12\varphi_I = -3,75 + 12\varphi_I = \underline{\underline{-1,607}}$$

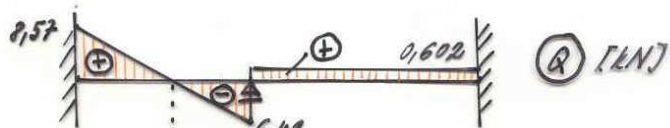
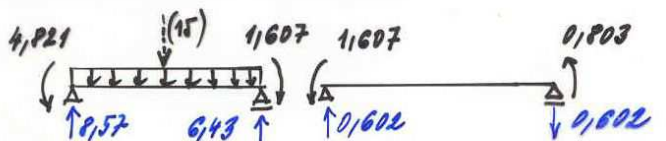
$$M_{1II} = \bar{M}_{1II} + k_{1II}(2\varphi_I + \varphi_{II} + 0) = 0 + 0,75/2\varphi_I = \underline{\underline{1,5\varphi_I}} = \underline{\underline{1,607 \text{ kNm}}}$$

$$3,5\varphi_I - 3,75 = 0 \Rightarrow \underline{\underline{\varphi_I = 1,071}} \text{ (redukované pootočení)}$$

Zbývající momenty:

$$M_{1I} = \bar{M}_{1I} + k_{1I}(2\varphi_I + \varphi_I + 3 \cdot 0) = +3,75 + 1 \cdot \varphi_I = \underline{\underline{4,821 \text{ kNm}}}$$

$$M_{1II} = \bar{M}_{1II} + k_{1II}(2\varphi_{II} + \varphi_I + 3 \cdot 0) = 0 + 0,75 \varphi_I = \underline{\underline{0,803 \text{ kNm}}}$$



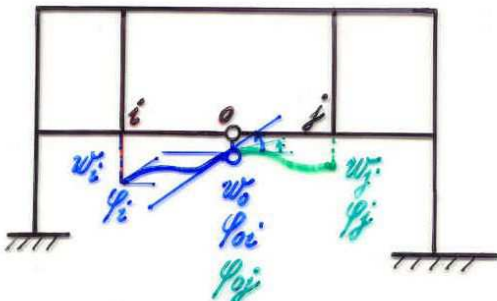
(Q) [kN]



(M) [kNm]

7. Konstrukce s klouby - pootočení v kloubech můžeme eliminovat před řešením celé kce (\Rightarrow sníží se počet neznámých)

Vnitřní kloub



v kloubu O:

$$\varphi_{oi} + \varphi_{oj}$$

vyloučíme z rov. pro nulový moment v kloubu
(kondenzace parametrů)

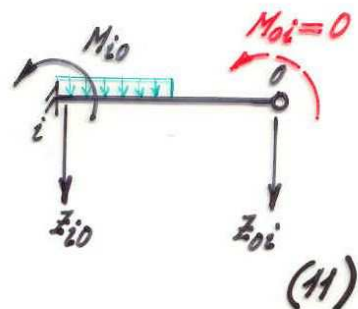
Prut i-o

$$M_{oi} = \bar{M}_{oi} + k_{oi} (2\varphi_{oi} + \varphi_i + 3 \frac{w_o - w_i}{l_{oi}}) = 0 \quad (\text{6. rov. v (6'')})$$

$$\Rightarrow \varphi_{oi} = - \frac{M_{oi}}{2k_{oi}} - \frac{\varphi_i}{2} - \frac{3}{2} \frac{w_o - w_i}{l_{oi}}$$

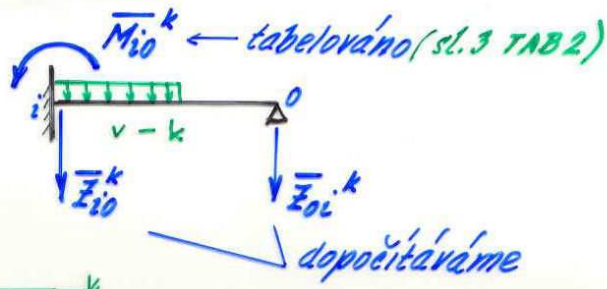
Zpětným dosazením do (6'') se změní 2., 3., 5. rov. (1., 4. stejné)

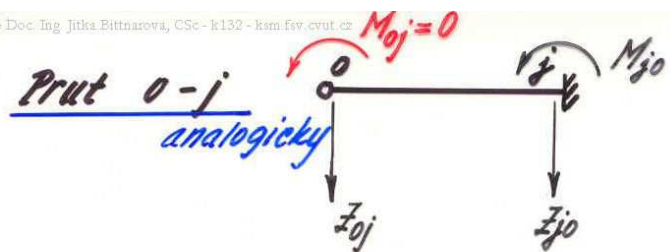
2. $\bar{z}_{io} = \bar{z}_{io}^k - \frac{3}{4} \frac{k_{oi}}{l_{oi}} (2\varphi_i + 2 \frac{w_o - w_i}{l_{oi}})$
3. $\bar{M}_{io} = \bar{M}_{io}^k + \frac{3}{4} k_{oi} (2\varphi_i + 2 \frac{w_o - w_i}{l_{oi}})$
5. $\bar{z}_{oi} = \bar{z}_{oi}^k + \frac{3}{4} \frac{k_{oi}}{l_{oi}} (2\varphi_i + 2 \frac{w_o - w_i}{l_{oi}})$



$$\begin{aligned} \bar{z}_{io}^k &= \bar{z}_{io} + \frac{3}{2} \frac{\bar{M}_{oi}}{l_{oi}} \\ \bar{M}_{io}^k &= \bar{M}_{io} - \frac{\bar{M}_{oi}}{2} \\ \bar{z}_{oi}^k &= \bar{z}_{oi} - \frac{3}{2} \frac{\bar{M}_{oi}}{l_{oi}} \end{aligned}$$

hodnotu na





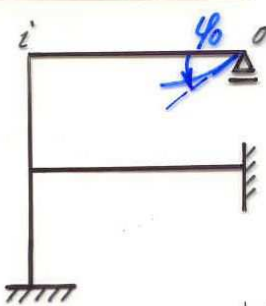
$$M_{oj}=0 \quad (\text{z. rovnice } v (6^{\text{v}}))$$

$\Rightarrow \varphi_{oj}$ (vyložíme)

$$\Rightarrow Z_{oj}, \quad Z_{jo}, \quad M_{jo} = \bar{M}_{jo} + \frac{3}{4} k_{jo} \left(2\varphi_j + 2 \frac{w_j - w_0}{l_{jo}} \right)$$

tabelováno (sloupec 4. TAB. 2)

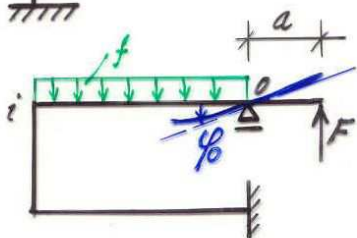
Vnější kloub



na prutu i-o : $w_0=0$

$$M_{oi}=0 \Rightarrow \varphi_0 \quad (\text{vyložíme})$$

další' výpočet dle (11)



Prut i-o lze počítat jako typ v-v
a neznámé' pootočení' ponechat

\Rightarrow

$$M_{oi} \xrightarrow[\text{(z.oree } \pm 16^{\text{v}})]{} F \cdot a$$

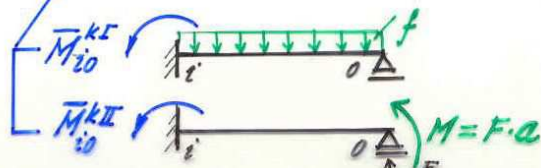
(z.oree $\pm 16^{\text{v}}$)

$$\underline{M_{oi} - Fa = 0}$$

nebo $\varphi_0 = \text{rov. vyložit}$ předem a prut počítat jako v-k
(vz. 11)

$$\Rightarrow M_{io} = \bar{M}_{io}^k + \frac{3}{4} k_{io} \left(2\varphi_i + 2 \frac{w_i - w_0}{l_{io}} \right)$$

⋮



} superponujeme!

oboustranně kladové uložení prot.

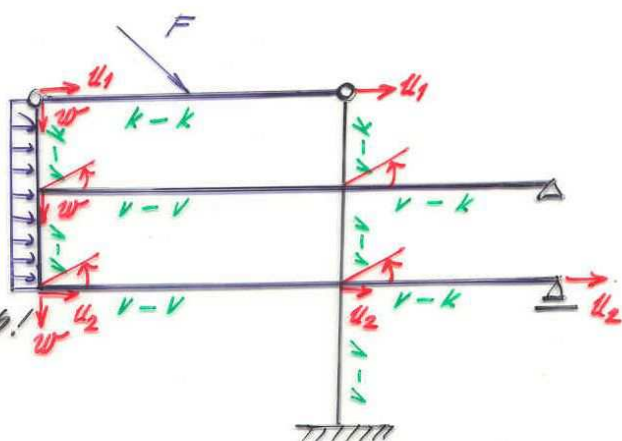


$$n = \frac{EA}{l}$$

$$\begin{Bmatrix} X_{ab} \\ Z_{ab} \\ X_{ba} \\ Z_{ba} \end{Bmatrix} = \begin{Bmatrix} \bar{X}_{ab} \\ \bar{Z}_{ab} \\ \bar{X}_{ba} \\ \bar{Z}_{ba} \end{Bmatrix} + \begin{bmatrix} n & 0 & -n & 0 \\ 0 & 0 & 0 & 0 \\ -n & 0 & n & 0 \\ 0 & 0 & 0 & 0 \end{bmatrix} \begin{Bmatrix} u_a \\ w_a \\ u_b \\ w_b \end{Bmatrix} \quad (12)$$

Pr.

Popишte typy
prutů tak,
abychom při
výpočtu dostali
min. počet neznámých!

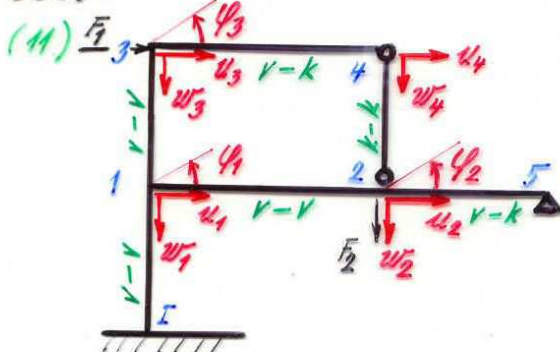


$$\text{EDM: } u_1, u_2, w \\ + 4 \times \varphi$$

$$\text{ODM: } 7 \times u \\ 6 \times w \\ 4 \times \varphi$$

Práce na konstrukci: a) vyznačte typy prutů
b) zakreslete neznámé do obr. < ODM
z DM

ODM:



V symbolickém tvaru

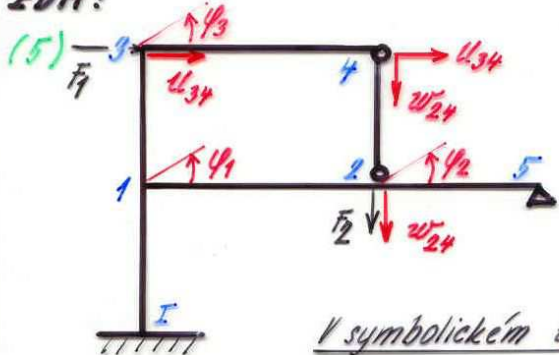
rov. v 2.



$$M_{21} + M_{25} = 0$$

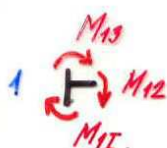
$$\begin{array}{c} Z_{24} \\ \uparrow \\ Z_{21} \quad Z_{25} \\ \downarrow F_2 \end{array} \quad -F_2 + Z_{21} + Z_{25} + Z_{24} = 0$$

z DM:



$$\begin{array}{c} (x_{24}) \\ \leftarrow \\ x_{21} \quad x_{25} \end{array} \quad x_{21} + x_{25} + (x_{24}) = 0$$

V symbolickém tvaru všechny rovnice:



$$M_{1I} + M_{12} + M_{13} = 0$$

$$\begin{array}{c} \leftarrow : -F_1 + x_{31} + x_{42} = 0 \\ \leftarrow F_1 \quad \leftarrow x_{31} \quad \leftarrow (x_{42}) \end{array}$$

$$M_{21} \left(\frac{1}{2} \right) M_{25} \quad M_{21} + M_{25} = 0$$



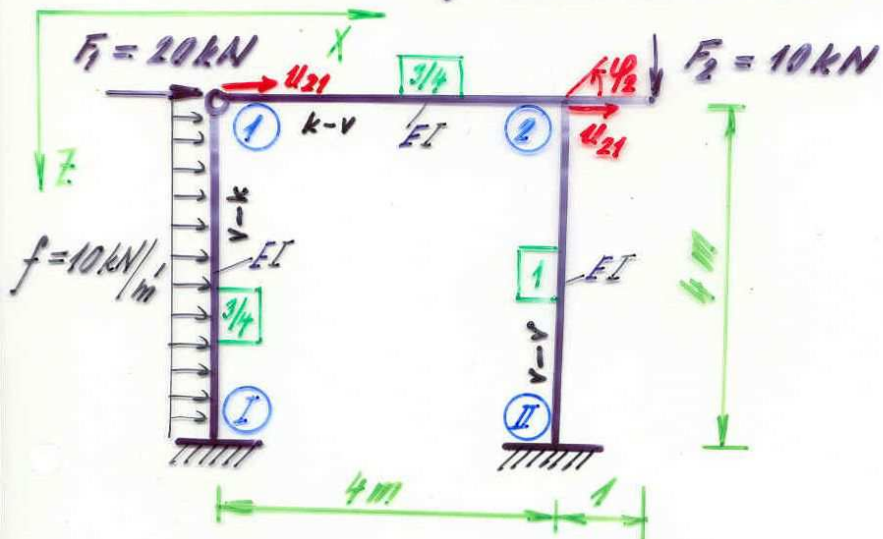
$$M_{31} + M_{34} = 0$$

$$\begin{array}{c} Z_{43} \uparrow \\ Z_{21} \quad Z_{25} \\ \downarrow F_2 \end{array}$$

$$\Gamma \left(M_{34} \right)$$

$$\uparrow : -F_2 + Z_{21} + Z_{25} + Z_{43} = 0$$

Práce stanovte průběhy M , N , Q na zadane kci zjednodušenou DM:



Řešení:

1. Přetvarovná neurčitost: $d = 1 + 1 = 2$

$$\varphi_2, u_{12} = u$$

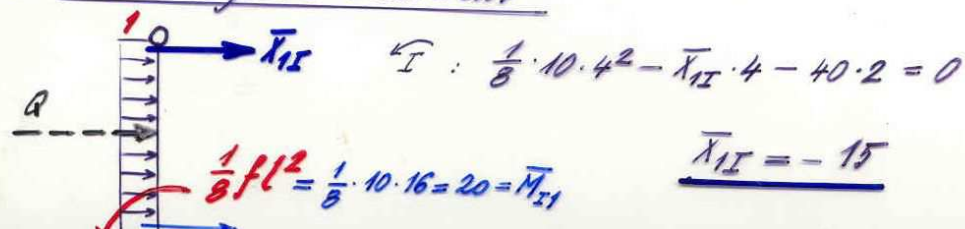
2. Redukované tuhosti:

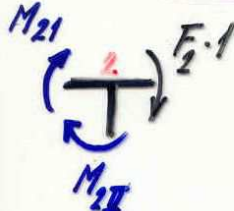
$$k_{2II} = \frac{2EI}{l_{2II}} \cdot c = 1 \Rightarrow c = \frac{l}{2EI}$$

$$k_{1II} = \frac{2EI}{l_{1II}} \cdot c \cdot \frac{3}{4} = \frac{3}{4}$$

$$k_{12} = \frac{2EI}{l_{12}} \cdot c \cdot \frac{3}{4} = \frac{3}{4}$$

3. Konečné síly od zatížení



4. 5. Podmínk. rovnice

$$M_{2I} + M_{2II} = -F_2 \cdot 1 \quad 1.$$

$$M_{2I} = \bar{M}_{2I} + k_{12} (2\varphi_2 + 2 \frac{u_2' - u_1'}{l_{12}}) = k_{12} \cdot 2\varphi_2$$

$$M_{2II} = \bar{M}_{2II} + k_{2II} (2\varphi_2 + \varphi_2 + 3 \frac{u_2 - u_I}{l}) = k_{2II} (2\varphi_2 + 3 \frac{u_2}{l})$$

$$\varphi_2 (2k_{2I} + 2k_{2II}) + u_{2I} \frac{3k_{2II}}{l} = -10$$

$$\varphi_2 (2 \cdot \frac{3}{4} + 2 \cdot 1) + u_{2I} \frac{3 \cdot 1}{4} = -10$$

$$\varphi_2 \cdot 3,5 + u_{2I} \cdot 0,75 = -10 \quad 1.$$



$$X_{1I} + X_{2II} = F_1 \quad 2.$$

$$X_{1I} = \bar{X}_{1I} + \frac{k_{1I}}{l_{1I}} (2\varphi_I + 2 \frac{u_I - u_I'}{l_{1I}}) = \bar{X}_{1I} + \frac{2k_{1I}}{l^2} \cdot u_{2I}$$

$$X_{2II} = \bar{X}_{2II} + \frac{k_{2II}}{l_{2II}} (3\varphi_2 + 3\varphi_{II} + 6 \frac{u_{2I} - u_{II}}{l}) = \\ = 3 \frac{k_{2II}}{l} \varphi_2 + 6 \frac{k_{2II}}{l^2} u_{2I}$$

$$\varphi_2 \frac{3k_{2II}}{l} + u_{2I} \left(2 \frac{k_{1I}}{l^2} + 6 \frac{k_{2II}}{l^2} \right) = F_1 - \bar{X}_{1I}$$

$$\varphi_2 \cdot 0,75 + u_{2I} \cdot 0,468 = 35 \quad 2.$$

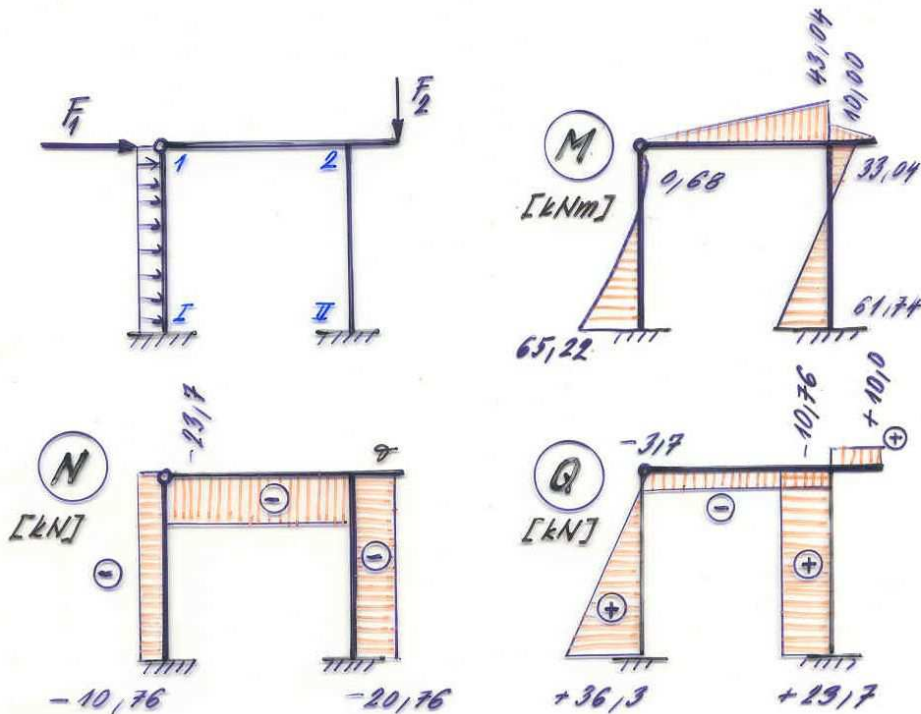
6. Řešením:

$$u_{2I} = 120,58$$

$$\varphi_2 = -28,70$$

redukované
hodnoty

VIII-7



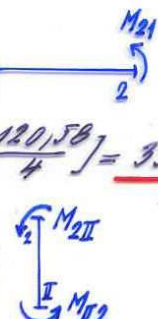
7. Koncové "sily" na prutech:

$$M_{2I} = k_{12} \cdot 2q_2 = \frac{3}{4} \cdot 2 \cdot (-28,7) = \underline{-43,04} \quad \begin{matrix} M_{2I} \\ \uparrow \\ 1 \quad 2 \end{matrix}$$

$$M_{2II} = k_{2II} (2q_2 + 3 \frac{u_2}{l}) = 1 (2(-28,70) + 3 \cdot \frac{120,58}{4}) = \underline{33,04}$$

$$M_{I2} = k_{2II} (0 + q_2 + 3 \frac{u_2}{l_{2II}}) = (-28,7 + 3 \frac{120,58}{4}) = \underline{61,74}$$

$$M_{I1} = \overline{M_{II}} + k_{12} (2 \cdot 0 + 2 \frac{u_2}{l_{12}}) = 20 + \frac{3}{4} (2 \frac{120,58}{4}) = \underline{65,22}$$

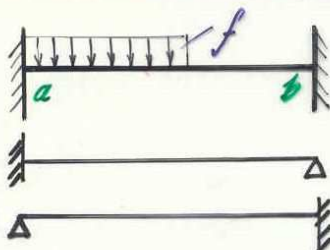


Řešení kce vystavené různým vlivům

Základní vztah pro prut a-b:

$$\{R_{ab}\} = \{\bar{R}_{ab}\} + [K_{ab}]\{r_{ab}\} \quad (6)$$

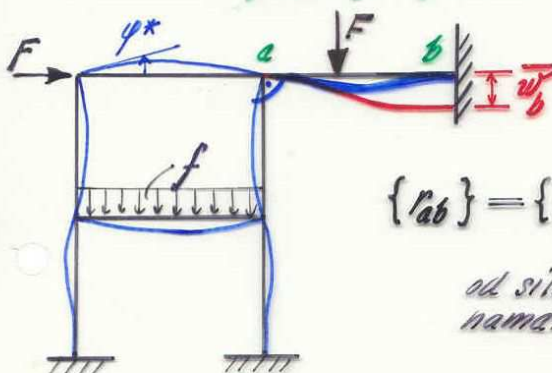
a) Vliv silového působení na prut



projeví se ve vektoru $\{\bar{R}_{ab}\}$
= koncové síly při $\{r_{ab}\} = \{0\}$
(Tab. 2 - řádek 1-8)

b) Vliv nepružného přemístění podpor (tab. 2 - ř. 10-13)

přemístění podpory = posun resp. po stočení podpory



$$\{r_{ab}\} = \{r_{ab}^*\} + \{\bar{r}_{ab}\}$$

od silového
namáhání kce

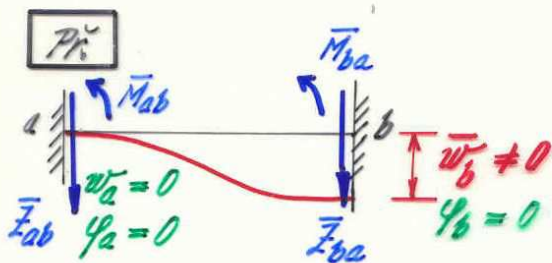
↓ předepsané hodnoty
v určitých místech kce

$$\{R_{ab}\} = \{\bar{R}_{ab}^I\} + [K_{ab}]\{r_{ab}^*\} + \underbrace{[K_{ab}]\{\bar{r}_{ab}\}}_{\{\bar{R}_{ab}^{II}\}}$$

$$\{R_{ab}\} = \{\bar{R}_{ab}\} + [K_{ab}]\{r_{ab}^*\}$$

$$(13) \quad \boxed{\{\bar{R}_{ab}^{II}\} = [K_{ab}]\{\bar{r}_{ab}\}} \quad \boxed{\{\bar{R}_{ab}\} = \{\bar{R}_{ab}^I\} + \{\bar{R}_{ab}^{II}\}}$$

Konečné síly $\{\bar{R}_{ab}^I\}$ dostaneme z definice MT.



Pro oboustranně vedenutý nosník (viz vz. (6'), 5. sloupec)
(princip proporcionality)

$$\bar{Z}_{ab} = k_{ab} \left(-\frac{6}{l^2}\right) \bar{w}_b$$

$$\bar{M}_{ab} = k_{ab} \left(\frac{3}{l}\right) \bar{w}_b$$

$$\bar{Z}_{ba} = k_{ab} \left(\frac{6}{l^2}\right) \bar{w}_b$$

$$-\bar{M}_{ba} = k_{ab} \left(\frac{3}{l}\right) \bar{w}_b$$

stejný výpočet z (13)

$$\text{při } \{\bar{r}_{ab}\} = \{0, 0, 0 \mid 0, \bar{w}_b, 0\}$$

→ tabulováno (TAB. 2, r. 11)

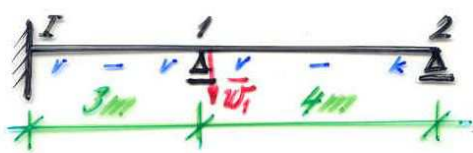
$\bar{Z}_{ab}, \bar{Z}_{ba}$ - dopočítáme z podm. rovnováhy

Obdobně při $\bar{w}_a \neq 0$ (T2, r. 10)

$\bar{y}_a \neq 0$ (T2, r. 12)

$\bar{y}_b \neq 0$ (T2, r. 13)

Pr. Stanovte průběhy M , Q spoj. nosníku zavíšabene' poklesem podpory 1 o 3mm.



$$\bar{w}_{1,sk} = 0,003 \text{ m}$$

$$I = 0,9 \cdot 10^{-3} \text{ m}^4$$

$$E = 21 \cdot 10^3 \text{ kPa}$$

neznáma: φ_1

$$M_{1I} \leftarrow M_{12} \quad M_{1I} + M_{12} = 0$$

výpočet v redukovaných hodnotách, v kN, m

$$k_{1I} = \frac{2EI}{3} \cdot C = 1 \Rightarrow C = \frac{3}{2EI} = 0,79 \cdot 10^{-4}$$

$$k_{12} = \frac{3}{4} \frac{2EI}{4} \cdot C = 0,56$$

$$\bar{w}_{1,red} = \frac{\bar{w}_{1,sk}}{C} = \frac{0,003}{0,79 \cdot 10^{-4}} = 37,9$$

Zadle tabulky 2:

$$\bar{M}_{1I} = 3 \frac{k_{ab}}{l} \cdot \bar{w}_b = 3 \cdot \frac{1}{3} \cdot 37,9 = 37,9 \text{ kNm} \quad (\text{st. 2, ř.H})$$

$$\bar{M}_{12} = -2 \frac{k_{ak}}{l} \cdot \bar{w}_a = -2 \cdot \frac{0,56}{4} \cdot 37,9 = -10,61 \text{ (st. 3, ř.H)}$$

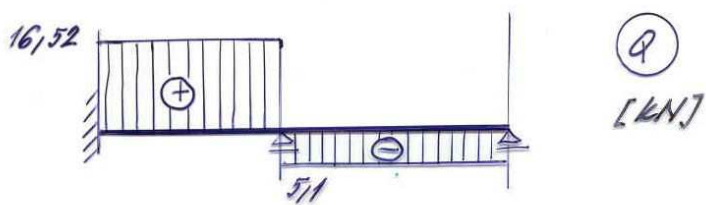
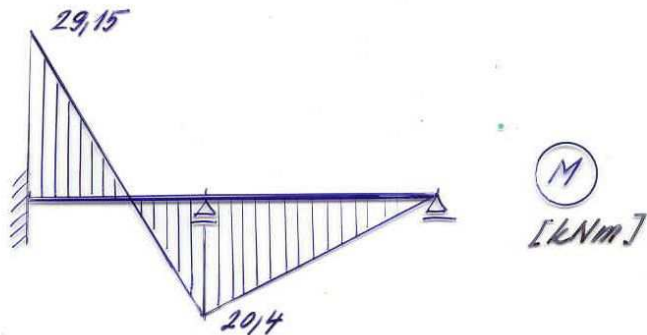
$$M_{1I} = \bar{M}_{1I} + k_{1I} (2\varphi_1 + \varphi_I + 3 \frac{\bar{w}_I - \bar{w}_F}{l}) = 37,9 + 1(2\varphi_1) = +20,4$$

$$M_{12} = \bar{M}_{12} + k_{12} (2\varphi_1 + 2 \frac{\bar{w}_2 - \bar{w}_I}{l}) = -10,61 + 0,56(2\varphi_1)$$

$$27,29 + 3,12\varphi_1 = 0 \quad = -20,4$$

$$\varphi_1 = -8,75 \quad \text{redukované' pootočení'}$$

$$M_{I_1} = \bar{M}_{I_1} + 1(2\varphi_I + \varphi_I + 3 \frac{w_I - \bar{w}_I}{l}) = 37,9 - 8,75 = 29,15$$



$$\begin{array}{c} 29,15 \quad 20,4 \\ \downarrow \quad \uparrow \\ 16,52 \quad 16,52 \end{array} \quad \begin{array}{c} 20,4 \\ \uparrow \\ \downarrow 5,11 \\ 5,11 \end{array}$$

namáhání pruti
(skutečná orientace
síl a momentu)

2. alternativa výpočtu (bez tab. 2, zadaný pokles dosazujeme přímo)

$$\begin{aligned} M_{I_1} &= \bar{M}_{I_1} + k_{I_1}(2\varphi_I + \varphi_I + 3 \frac{w_I - \bar{w}_I}{l_{I_1}}) \\ &= 0 + 1(2\varphi_I + 0 + 3 \cdot \frac{37,9 - 0}{3}) = 2\varphi_I + 37,9 \end{aligned}$$

$$\begin{aligned} M_{I_2} &= \bar{M}_{I_2} + k_{I_2}(2\varphi_I + 2 \frac{w_2 - \bar{w}_I}{l_{I_2}}) = \\ &= 0 + 0,56(2\varphi_I + 2 \frac{0 - 37,9}{4}) = 1,12\varphi_I - 10,61 \end{aligned}$$

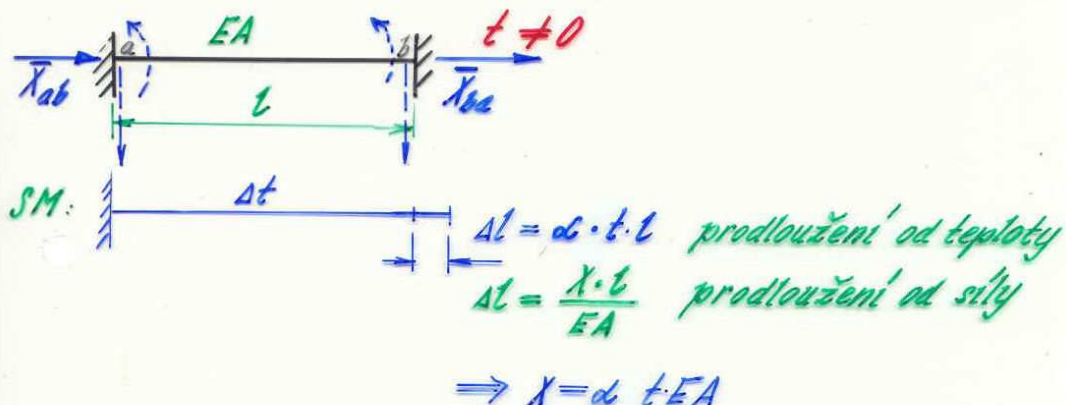
Pozor: Součli kred., dosazujeme w red.!

c) Mír rovnoměrné, nerovnoměrné změny teploty

V obecném DM: teplota = zatížení

(t.j. na retknutém stavu určíme koncové síly - např. SM)

Príklad: Výpočet koncových sil od rovnoměrn. ohřátí t

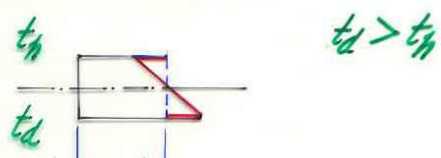
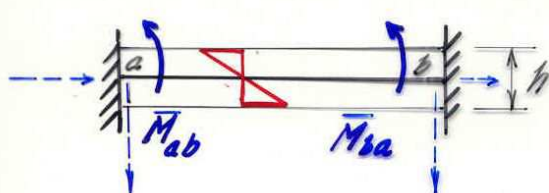


$$\{\bar{R}_{ab}\} = \begin{Bmatrix} \bar{x}_{ab} \\ \bar{z}_{ab} \\ \bar{M}_{ab} \\ \bar{x}_{ba} \\ \bar{z}_{ba} \\ \bar{M}_{ba} \end{Bmatrix} = \begin{Bmatrix} \alpha \cdot t \cdot EA \\ 0 \\ 0 \\ -\alpha \cdot t \cdot EA \\ 0 \\ 0 \end{Bmatrix}$$

$\bar{R}_{ao} \dots$ stejně jako u retknutí'

$$\{\bar{R}_{ao}\} = \{0\}$$

(náš tab. n. 9)

Koncové síly při nerovnoměrném oteplení Δt 

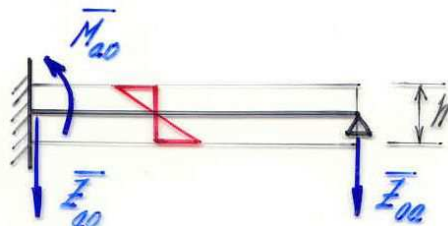
$$l = \frac{t_d + t_h}{2} = \text{rovnoramenné teplo}$$

$$\Delta t = t_d - t_h = \text{nerovnoramenné teplo}$$

Rешение SM:

$$\{\bar{R}_{ab}\} = \{0, 0, \bar{M}_{ab}, |0, 0, \bar{M}_{ba}\}\}$$

$$\bar{M}_{ab} = -\bar{M}_{ba} = EI\alpha \frac{t_d - t_h}{h} \quad \leftarrow \text{tabelováno}$$



$$\{\bar{R}_{ao}\} = \{0, \bar{Z}_{ao}, \bar{M}_{ao}, |0, \bar{Z}_{oa}\}\}$$

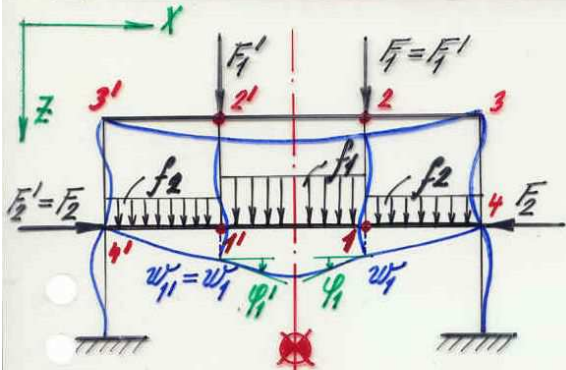
$$\bar{M}_{ao} = \frac{3}{2}EI\alpha \frac{t_d - t_h}{h} \quad \leftarrow \text{tabelováno}$$

$$\bar{Z}_{ao} = -\bar{Z}_{oa} = -\frac{\bar{M}_{ao}}{l}$$

Souměrné konstrukce - zatížení symetrické, zatížení antisymetrické

1. Zatížení symetrické (deformace symetrická)

a) Osa souměrnosti protíná prut



když řešíme buď celou s neznámými
 $u_1, w_1, q_1, u'_1, w'_1, q'_1 \dots$
 nebo když za osu symetrie rychleji řešíme

$$\boxed{\begin{aligned} u'_1 &= -u_1 \\ q'_1 &= -q_1 \\ w'_1 &= w_1 \end{aligned}} \Rightarrow \text{na osu sym.} \quad \begin{aligned} q &= 0 \\ u &= 0 \end{aligned}$$

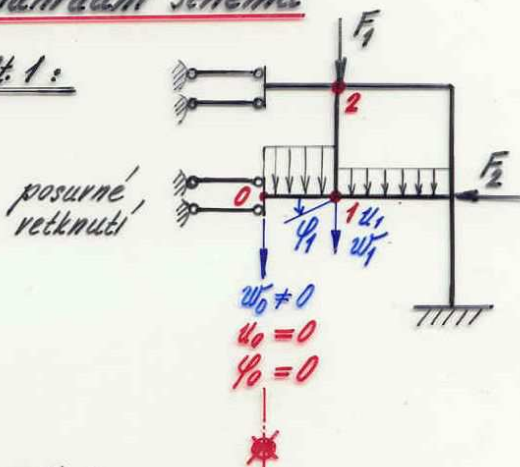
Ze skutečné kce:

$$M_{H1} = \bar{M}_{H1} + k_{H1} (2q_1 + q'_1 + 2 \frac{w_1 - w'_1}{l_{H1}})$$

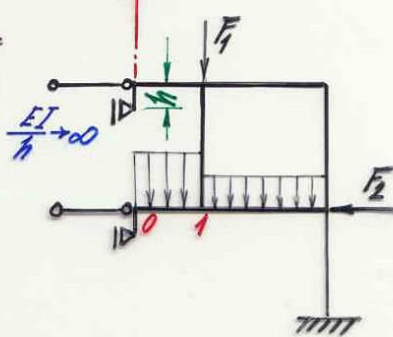
$$= \bar{M}'_{H1} + k_{H1} \cdot q_1$$

náhradní schéma

alt. 1:



alt. 2:



Poznámka

posun w_0 (na osu symetrie)
 nemusíme počítat, můžeme jej
 rychleji řešit z podm.:

$$Z_{01} = 0$$

$$\Rightarrow w_0 = w_0(q_1, u_1)$$

$$\Rightarrow M_{10} = M_{H1} (\text{skut. kce})$$

→ lze rychleji řešit při výpočtu na počítači standardním programem!

obecná DM:neznámé (při řešení 1/2 kce)

- | | | |
|--|---|---|
| 1: u_1, w_1, φ_1
2: u_2, w_2, φ_2
3: u_3, w_3, φ_3
4: u_4, w_4, φ_4 | } | \Rightarrow po třech podmírkách rovnováhy
v každém stycniku 1, 2, 3, 4 |
|--|---|---|

zjednodušená DM:neznámé:

- | | | |
|--|---|---|
| 1. $0, w_{12}, \varphi_1$
2. $0, w_{12}, \varphi_2$
3. $0, 0, \varphi_3$
4. $0, 0, \varphi_4$ | } | \Rightarrow 4 momentové p. rovnováhy
1 sloupcová rovnice |
|--|---|---|

Přehled průběhu
sym. kce, sym. zatížení (rovinný rám)SM

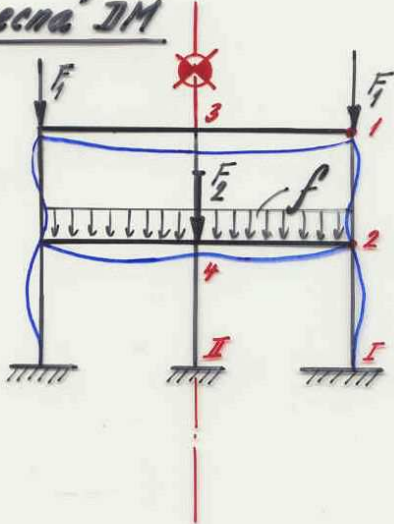
M - průběh symetrický
 N - průběh symetrický
 Q - antisymetrický p.

DM

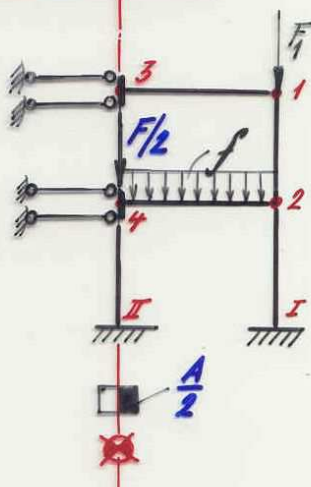
φ - antisymetrické
 u - antisymetrické
 w - symetrické

b) osa souměrnosti protíná sloup

Obecná DM



náhradní model



neznámé:

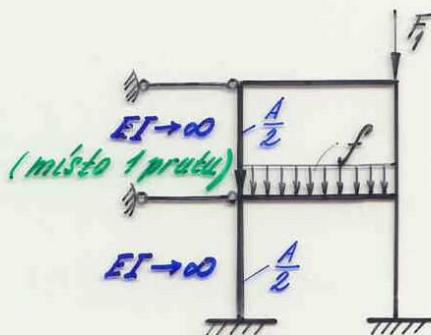
$$1: u_1, w_1, \gamma_1$$

$$2: u_2, w_2, \gamma_2$$

$$3: 0 \quad w_3 \quad 0$$

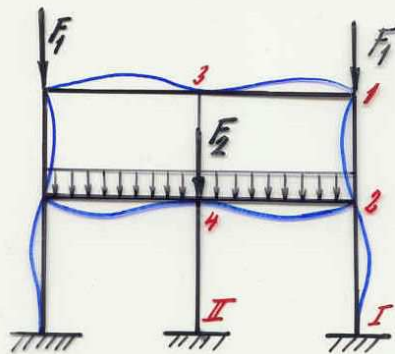
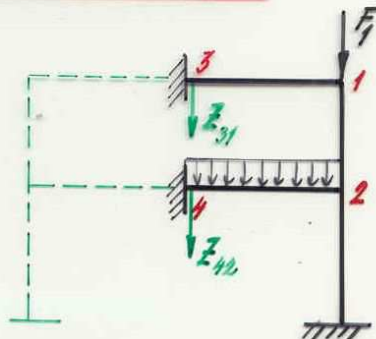
$$4: 0 \quad w_4 \quad 0$$

kazde' nutove' hodnote odpoveda' jednoduch'a' vazba



Zjednodušená DM

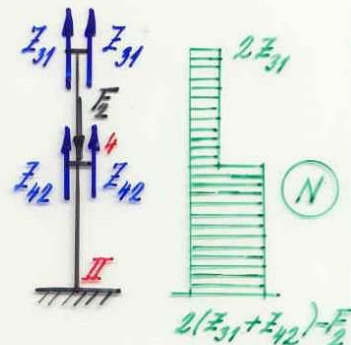
-neuvážíme-li stlačení sloupu,
schema se zjednoduší!

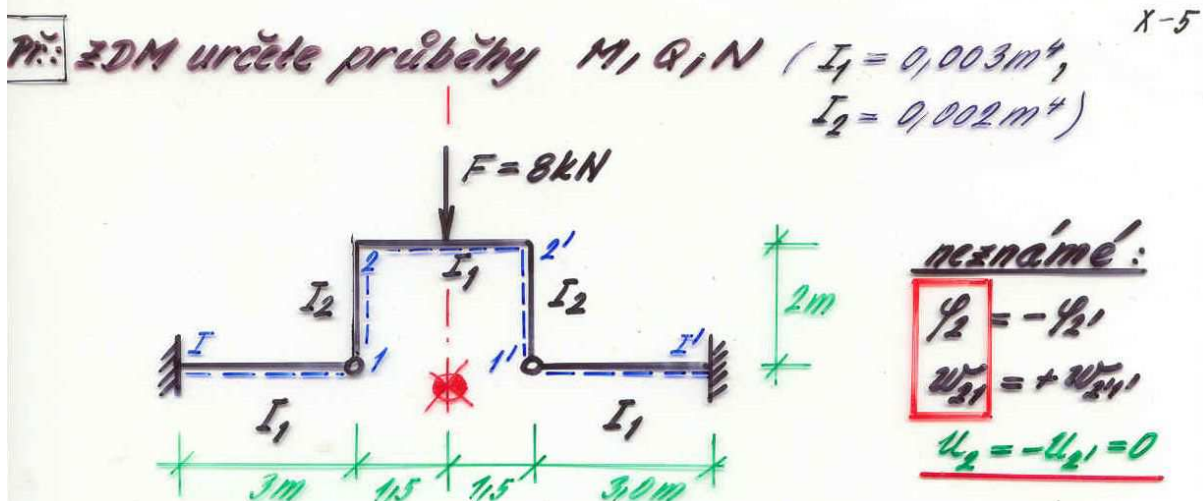
náhradní modelneznané:

	<u>u</u>	<u>w</u>	<u>φ</u>
1:	0	0	y_1
2:	0	0	y_2
3:	0	0	0
4:	0	0	0
	$\underbrace{\hspace{1cm}}$		

\Rightarrow 2 momentové podmínky
rovnováhy (v 1, 2)

Normalovou sílu v prutu 3-4-II
určíme dodatečně z podmínky
rovnováhy ve svistém směru:





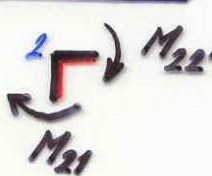
Redukované tuhosti:

$$k_{22'} = \frac{2EI_1}{l} \cdot c = \frac{2E \cdot 0,003}{3} \cdot c = \underline{1} \Rightarrow c = \frac{3}{2E \cdot 0,003}$$

$$k_{1I} = \frac{3}{4} \frac{2EI_1}{l} \cdot c = \underline{0,75}$$

$$k_{12} = \frac{3}{4} \frac{2EI_2}{l} \cdot c = \frac{3}{4} \frac{2E \cdot 0,002}{3} \cdot c = \underline{0,75}$$

Rovnice:



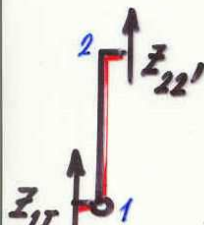
$$1. \quad M_{22'} + M_{21} = 0$$

$$M_{22'} = \bar{M}_{22'} + k_{22'} (2\varphi_2 + \varphi_{21} + 3 \frac{w_{21} - w_2}{3})$$

$$= \frac{1}{3} \cdot 8 \cdot 3 + 1(\varphi_2) = 3 + \varphi_2$$

$$M_{21} = \bar{M}_{21} + k_{12} (2\varphi_2 + 2 \frac{w_2 - u_1}{2}) = 1,5\varphi_2$$

$$1. \quad 2,5\varphi_2 + 3 = 0$$



$$2. \quad Z_{22'} + Z_{1I} = 0$$

$$Z_{22'} = \bar{Z}_{22'} - \frac{k_{22'}}{c} (3\varphi_2 + 3\varphi_{21} + 6 \frac{w_{21} - w_2}{3}) = -4 - 8$$

$$Z_{1I} = \bar{Z}_{1I} + \frac{k_{1I}}{c} (2\varphi_I + 2 \frac{w_I - w_1}{3}) = \frac{0,75}{3} \cdot \frac{2}{3} w_I$$

$$2. \quad -4 + 0,166 w_I = 0$$

Rешение:

$$\omega_1 = 24$$

$$\varphi_2 = -112$$

(redukované hodnoty)

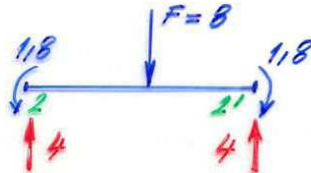
X-6

Zpětým dosazením:

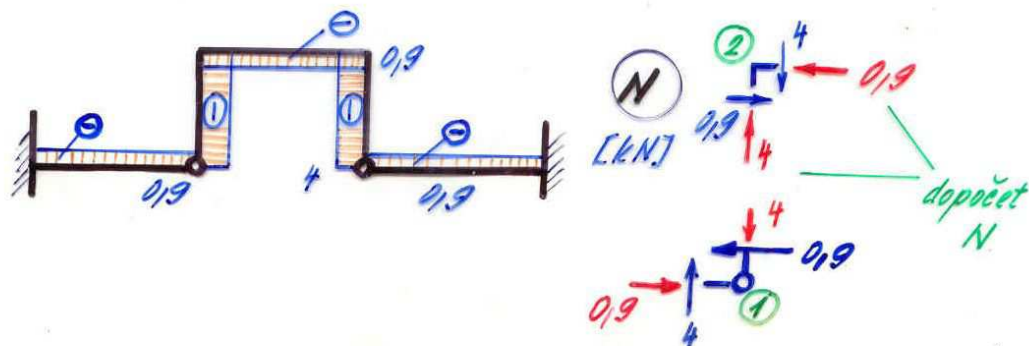
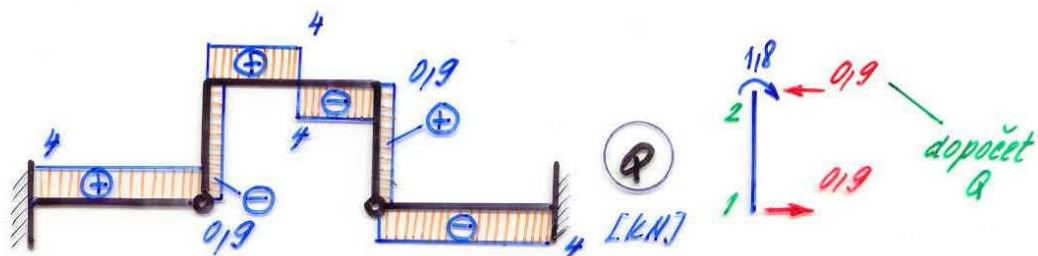
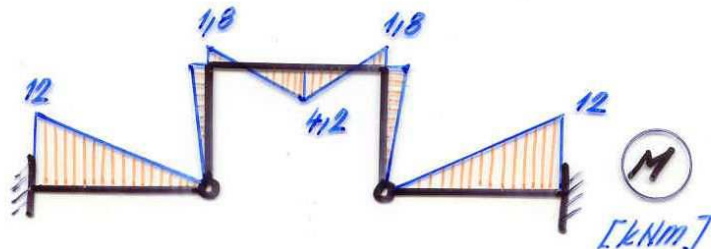
$$M_{221} = 3 + \varphi_2 = -1,8 \text{ kNm}$$

$$M_{21} = 1,5 \varphi_2 = -1,8 \text{ kNm}$$

$$M_{I1} = 0,5 \omega_1 = +12 \text{ kNm}$$

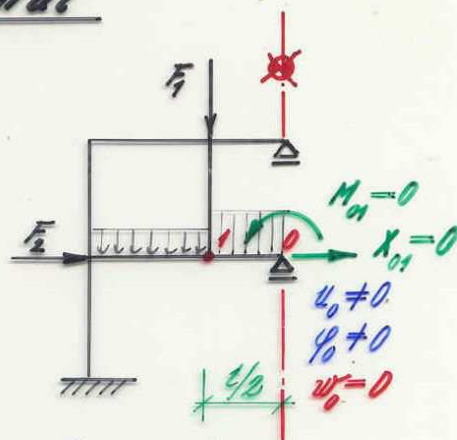
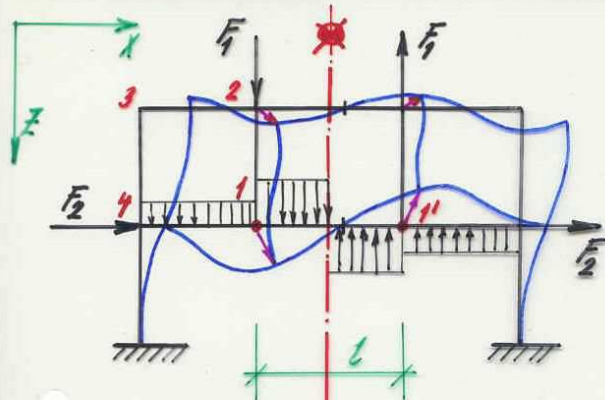


$$M_F = -1,8 + 4 \cdot 1,5 = +4,2 \text{ kNm}$$



2. Zatížení antisymetrické

a) osa souměrnosti protíná prut



pro bod i lze zaznamenat posun do strany u_i : platí:

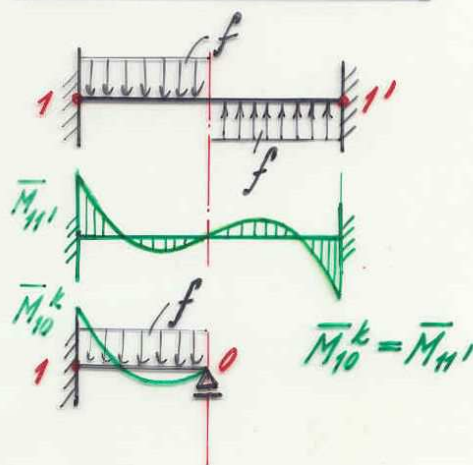
$$\begin{aligned} u'_i &= u_i \\ q'_i &= q_i \\ w'_i &= -w_i \end{aligned} \Rightarrow \text{na osy sym.}$$

ze skutečné kce:

$$\begin{aligned} M_{ii1} &= \bar{M}_{ii1} + k_{ii}(2q_i + q'_i + 3\frac{w_i^l - w'_i}{l_{ii1}}) \\ &= \bar{M}_{ii1} + k_{ii}(3q_i - 3\frac{w_i^l}{l_{ii1}}) \end{aligned}$$

neznámé q_0, u_0
můžeme vyložit z podm.:

$$\begin{aligned} M_{01} &= 0 \text{ (moment)} \\ X_{01} &= 0 \text{ (normál. síla)} \end{aligned}$$



Analogicky

$$M_{10} = M_{ii1} \text{ (skutečné kce)}$$

ODM: (12 neznámých)

- 1: u_1, w_1, φ_1
- 2: u_2, w_2, φ_2
- 3: u_3, w_3, φ_3
- 4: u_4, w_4, φ_4

$\left. \begin{array}{l} \\ \\ \\ \end{array} \right\} \Rightarrow$ po třech podm. rovn. v 1, 2, 3, 4

ZDM: (7 neznámých)

- 1: $u_{14}, w_{12}, \varphi_1$
- 2: $u_{23}, w_{12}, \varphi_2$
- 3: $u_{23}, 0_1, \varphi_3$
- 4: $u_{14}, 0_1, \varphi_4$

$\left. \begin{array}{l} \\ \\ \\ \end{array} \right\} \Rightarrow$

4 moment. p. rovnováhy
2 patrové r.
1 sloup.r.

Přehled průběhu
sym. kee, antisymetrické 'zatižení' (rovinný rám)

SM

M - antisymetrický p.

N - antisymetrický p.

Q - symetrický p.

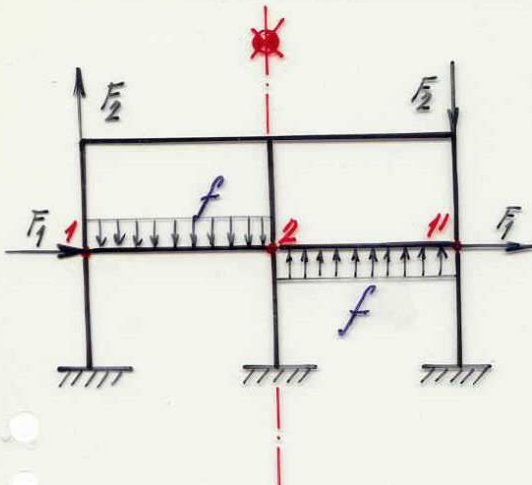
DM

φ - symetrické hodnoty

u - symetrické hodnoty

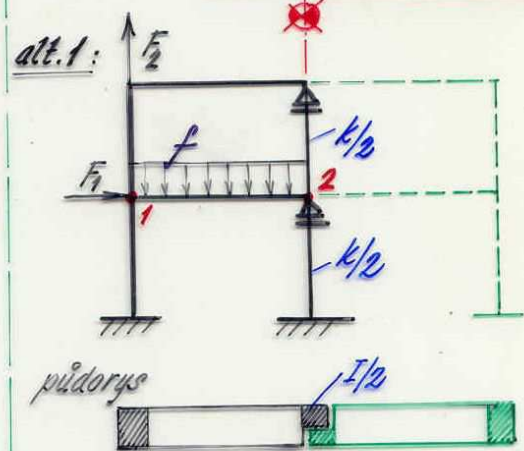
w - antisymetrické h.

b) Osa souměrnosti kce protíne' sloup



náhradní model

alt.1:



příloha



Tuhost středního sloupu je při antisymetrickém zatížení poloviční ($k = \frac{2E(I/2)}{l} = \frac{EI}{l} = \frac{k}{c}$)

alt.2:

